

Figura 12: Masividad de 70, protección de yeso para un tiempo de 360 minutos.

2 cm de mortero proyectado

MASIM/TIEMPO	15	20	30	45	60	90	120
70	344,85	447,47	606,99	672,17	856,64	961,43	1020,3
100	407,98	517,56	674,3	811,42	889,29	976,13	1028,5
130	451,48	562,8	712,43	834,99	903,22	982,14	1032,1
160	482,57	593,47	735,76	847,75	910,33	985,32	1034,2
190	505,42	615,07	750,84	855,29	914,45	987,27	1035,5
220	522,6	630,74	761,04	860,08	917,04	988,55	1036,3
250	535,71	642,39	768,18	863,27	918,77	989,43	1036,9
280	545,85	651,18	773,32	865,46	919,96	990,05	1037,4
310	553,72	657,9	777,07	867,01	920,79	990,48	1037,7

Tabla 10: temperaturas de diferentes perfiles protegido con mortero proyectado en un incendio al cabo de cierto tiempo

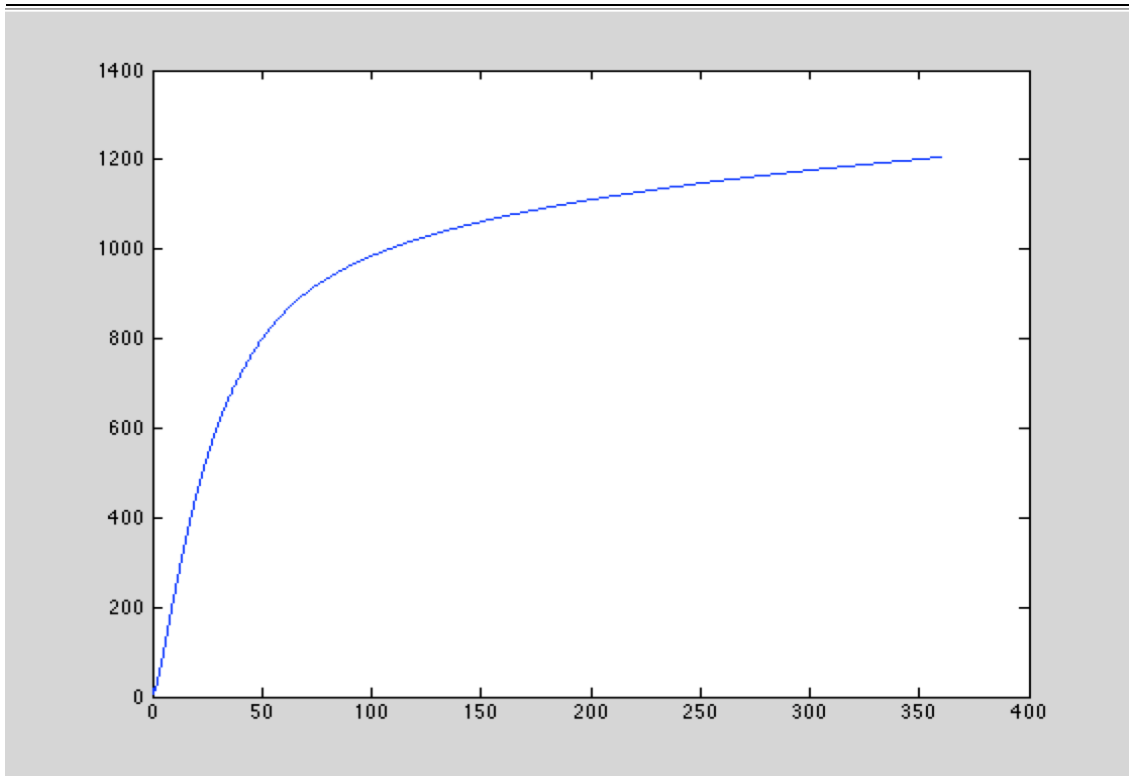


Figura 13: Masividad de 70, protección de mortero proyectado para un tiempo de 360 minutos

Con los cálculos mostrados se puede concluir que a espesores iguales de protección, el mejor protector frente a fuego son las placas de yeso, seguidas muy de cerca de la lana de roca, y el peor es el hormigón proyectado.

Este último se va a descartar como futura protección debido a los grandes espesores requeridos para llegar a un mismo nivel de protección que los otros tres sistemas de protección restantes.

12.4 Cálculo de las temperaturas críticas

Pilar IPE 360 con $N_{Sd \text{ máx}}$

Carga de diseño: $N_{Sd} = 175,53 \text{ KN}$

-Resistencia de diseño: EC3 Pt 1.1 (5.4.3)

$$N_{ol.Rd} = A_{net} f_y / \gamma_{M0} = 1840,02 \text{ KN}$$

$$N_{Sd} < N_{ol.Rd} \rightarrow \text{Correcto}$$

-Carga de cálculo de fuego: EC3 Pt 1.1 (2.4.3)

$$N_{fi,d} = \eta_{fi} N_{Sd}$$

Factor de reducción de carga:

$$N_{fi,d} = 0,5277 \times 175,53 = 92,62 \text{ kN}$$

-Resistencia de diseño a 20°C, usando factores de seguridad en fuego:

EC3 Pt 1.1 (4.2.3.1)

$$N_{fi,20,Rd} = k_{y,20} N_{Rd} (\gamma_{M,1} / \gamma_{M,fi})$$

$$N_{fi,20,Rd} = 1,0 \times 1840,02 \times ([1,1] \times [1,0]) = 2024,022 \text{ kN}$$

-Temperatura crítica:

$$\text{Grado de utilización: } \mu_0 = N_{fi,d} / N_{fi,20,Rd}$$

$$\mu_0 = 92,62 / 2024,022 = 0,04576$$

Temperatura crítica:

EC3 Pt 1.1 (4.2.4)

$$\theta_{cr} = 39,19 \ln \left(\frac{1}{0,9674 \mu_0^{3,833}} - 1 \right) + 482$$

$$\theta_{cr} = 946,6134 \text{ °C}$$

Pilar HEA 240 con $N_{Sd \text{ máx}}$

$$\text{Carga de diseño: } N_{Sd} = 57,98 \text{ KN}$$

-Resistencia de diseño: EC3 Pt 1.1 (5.4.3)

$$N_{ol,Rd} = A_{net} f_y / \gamma_{M0} = 2675,24 \text{ KN}$$

$$N_{Sd} < N_{ol,Rd} \rightarrow \text{Correcto}$$

-Carga de cálculo de fuego: EC3 Pt 1.1 (2.4.3)

$$N_{fi,d} = \eta_{fi} N_{Sd}$$

Factor de reducción de carga:

$$N_{fi,d} = 0,5277 \times 57,98 = 30,596 \text{ kN}$$

-Resistencia de diseño a 20°C, usando factores de seguridad en fuego:

EC3 Pt 1.1 (4.2.3.1)

$$N_{fi,20,Rd} = k_{y,20} N_{Rd} (\gamma_{M,1} / \gamma_{M,fi})$$

$$N_{fi,20,Rd} = 1,0 \times 2675,24 \times ([1,1] \times [1,0]) = 2942,76 \text{ kN}$$

-Temperatura crítica:

$$\text{Grado de utilización: } \mu_0 = N_{fi,d} / N_{fi,20,Rd}$$

$$\mu_0 = 30,596 / 2942,76 = 0,0140$$

Temperatura crítica:

EC3 Pt 1.1 (4.2.4)

$$\theta_{cr} = 39,19 \ln \left(\frac{1}{0,9674 \mu_0^{3,833}} - 1 \right) + 482$$

$$\theta_{cr} = 1169,1742 \text{ °C}$$

Pilar IPE 550 con $N_{Sd \text{ máx}}$

$$\text{Carga de diseño: } N_{Sd} = 92,47 \text{ KN}$$

-Resistencia de diseño: EC3 Pt 1.1 (5.4.3)

$$N_{ol,Rd} = A_{net} f_y / \gamma_{M0} = 3179,39 \text{ KN}$$

$$N_{Sd} < N_{ol,Rd} \rightarrow \text{Correcto}$$

-Carga de cálculo de fuego: EC3 Pt 1.1 (2.4.3)

$$N_{fi,d} = \eta_{fi} N_{Sd}$$

Factor de reducción de carga:

$$N_{fi,d} = 0,5277 \times 92,47 = 48,80 \text{ kN}$$

-Resistencia de diseño a 20°C, usando factores de seguridad en fuego:

EC3 Pt 1.1 (4.2.3.1)

$$N_{fi,20,Rd} = k_{y,20} N_{Rd} (\gamma_{M,1} / \gamma_{M,fi})$$

$$N_{fi,20,Rd} = 1,0 \times 3179,39 \times ([1,1] \times [1,0]) = 3497,33 \text{ kN}$$

-Temperatura crítica:

$$\text{Grado de utilización: } \mu_0 = N_{fi,d} / N_{fi,20,Rd}$$

$$\mu_0 = 48,80 / 3497,33 = 0,01395$$

Temperatura crítica:

EC3 Pt 1.1 (4.2.4)

$$\theta_{cr} = 39,19 \ln \left(\frac{1}{0,9674 \mu_0^{3,833}} - 1 \right) + 482$$

$$\theta_{cr} = 1125,0599 \text{ } ^\circ\text{C}$$

Viga IPE 360 con M_{Sd} máx

-Momento de flexión $M_{Sd} = 251,17 \text{ KNm}$

-Momento resistente: EC3 Pt 1.1 (5.4.5.2)

$$M_{ol,Rd} = W_{pl,x} f_y / \gamma_{M0} = 546,52 \text{ KNm}$$

$$M_{Sd} < M_{ol,Rd} \rightarrow \text{Correcto}$$

-Carga de cálculo de fuego: EC3 Pt 1.1 (2.4.3)

$$M_{fi,d} = \eta_{fi} M_{Sd}$$

Factor de reducción de carga:

$$M_{fi,d} = 0,5277 \times 251,17 = 132,54 \text{ kNm}$$

-Resistencia de diseño a 20°C, usando factores de seguridad en fuego:

EC3 Pt 1.1 (4.2.3.3)

$$M_{fi,20,Rd} = k_{y,0} (\gamma_{M,1} / \gamma_{M,fi}) M_{Rd}$$

$$M_{fi,20,Rd} = 1,0 \times ([1,1] \times [1,0]) \times 546,52 = 601,172 \text{ kN}$$

-Temperatura crítica:

Grado de utilización: $\mu_0 = N_{fi,d} / N_{fi,20,Rd}$

$$\mu_0 = 132,54 / 601,172 = 0,22047$$

Temperatura crítica:

EC3 Pt 1.1 (4.2.4)

$$\theta_{cr} = 39,19 \ln \left(\frac{1}{0,9674 \mu_0^{3,833}} - 1 \right) + 482$$

$$\theta_{cr} = 710,30794 \text{ °C}$$

Viga IPE 80 con M_{Sd} máx

-Momento de flexión $M_{Sd} = 0,25 \text{ KNm}$

-Momento resistente: EC3 Pt 1.1 (5.4.5.2)

$$M_{ol,Rd} = W_{pl,x} f_y / \gamma_{M0} = 6,08 \text{ KNm}$$

$$M_{Sd} < M_{ol,Rd} \rightarrow \text{Correcto}$$

-Carga de cálculo de fuego: EC3 Pt 1.1 (2.4.3)

$$M_{fi,d} = \eta_{fi} M_{Sd}$$

Factor de reducción de carga:

$$M_{fi,d} = 0,5277 \times 0,25 = 0,132 \text{ kNm}$$

-Resistencia de diseño a 20°C, usando factores de seguridad en fuego:

EC3 Pt 1.1 (4.2.3.3)

$$M_{fi,20,Rd} = k_{y,0} (\gamma_{M,1} / \gamma_{M,fi}) M_{Rd}$$

$$M_{fi,20,Rd} = 1,0 \times ([1,1] \times [1,0]) \times 6,08 = 6,688 \text{ kN}$$

-Temperatura crítica:

Grado de utilización: $\mu_0 = N_{fi,d} / N_{fi,20,Rd}$

$$\mu_0 = 0,132 / 6,688 = 0,01974$$

Temperatura crítica:

EC3 Pt 1.1 (4.2.4)

$$\theta_{cr} = 39,19 \ln \left(\frac{1}{0,9674 \mu_0^{3,833}} - 1 \right) + 482$$

$$\theta_{cr} = 1072,91 \text{ } ^\circ\text{C}$$

Viga IPE 300 con M_{Sd} máx

-Momento de flexión $M_{Sd} = 1,75 \text{ KNm}$

-Momento resistente: EC3 Pt 1.1 (5.4.5.2)

$$M_{ol.Rd} = W_{pl.x} f_y / \gamma_{M0} = 164,48 \text{ KNm}$$

$$M_{Sd} < M_{ol.Rd} \rightarrow \text{Correcto}$$

-Carga de cálculo de fuego: EC3 Pt 1.1 (2.4.3)

$$M_{fi.d} = \eta_{fi} M_{Sd}$$

Factor de reducción de carga:

$$M_{fi.d} = 0,5277 \times 1,75 = 0,923 \text{ kNm}$$

-Resistencia de diseño a 20°C, usando factores de seguridad en fuego:

EC3 Pt 1.1 (4.2.3.3)

$$M_{fi.20.Rd} = k_{y,0} (\gamma_{M.1} / \gamma_{M.fi}) M_{Rd}$$

$$M_{fi.20.Rd} = 1,0 \times ([1,1] \times [1,0]) \times 164,48 = 180,92 \text{ kN}$$

-Temperatura crítica:

$$\text{Grado de utilización: } \mu_0 = M_{fi.d} / N_{fi.20.Rd}$$

$$\mu_0 = 0,923 / 180,92 = 0,0051$$

Temperatura crítica:

EC3 Pt 1.1 (4.2.4)

$$\theta_{cr} = 39,19 \ln \left(\frac{1}{0,9674 \mu_0^{3,833}} - 1 \right) + 482$$

$$\theta_{cr} = 1276,21 \text{ } ^\circ\text{C}$$

12.5 Comprobación de las medidas obtenidas por el CYPE

Una vez se han vistos los resultados que nos ha generado el generador de precios de CYPE, se procede a verificar que son correctos mediante la siguiente expresión:

$$\Delta\theta_{s,t} = \frac{\frac{\lambda_p A_m}{V} (\theta_{g,t} - \theta_{s,t})}{d c_s \rho_s \left(1 + \frac{\phi}{3}\right)} \Delta t - \left(e^{\frac{\phi}{10}} - 1\right) \Delta\theta_{g,t}$$

la cual ha sido citada anteriormente, con la que se verifica que con el espesor de protección que establece el programa, nunca se alcanzará la temperatura crítica. Para ello se comprobó los perfiles en el caso de exposición por las 4 caras ya que es el más desfavorable.

Lana de roca:

PERFIL	Espesor CYPE (mm)	Temp. Calculada
IPE 80	40	709,3
IPE 300	30	570,1
IPE 360	25	556,7
IPE 550	20	463,8
HEB 240	30	557,9

Tabla 11: temperaturas alcanzadas al aplicar la protección de lana de roca recomendada por CYPE

Placas de yeso:

PERFIL	Espesor CYPE (mm)	Temp. Calculada
IPE 80	25	604,57
IPE 300	12,5	485,4
IPE 360	12,5	464,2
IPE 550	12,5	401,7
HEB 240	12,5	456,6

Tabla 12: temperaturas alcanzadas al aplicar la protección de placas de yeso recomendada por CYPE

Mortero proyectado:

PERFIL	Espesor CYPE (mm)	Temp. Calculada
IPE 80	63	699,8
IPE 300	55	687,3
IPE 360	48	685,7
IPE 550	36	643,6
HEB 240	45	685,3

Tabla 13: temperaturas alcanzadas al aplicar la protección de mortero proyectado recomendada por CYPE

Una vez vistas la que las comprobaciones cumplen el criterio de la temperatura crítica presentado anteriormente, se puede llegar a la misma conclusión a la que se ha llegado anteriormente, el elemento que mayor protección ofrece son las placas de yeso, seguido muy de cerca de la lana de roca. El que ofrece una protección más justa es el mortero proyectado.

Debido al gran espesor y al mal acabado del mortero proyectado, se va a desestimar la aplicación de este tipo de protección en la nave.

13 Conclusions

With regard to the the steel strucure calculation there were no special problems in its initial stages. It is worthy to mention that the part with more difficulties was introducing the buckling coefficients, due to the fact that you must know how the columns and beams of the structure behave in the space.

The stage of foundation and anchor plates design has not been very problematic since CYPE 3D, the tool used for the calculation, is very intuitive and this fact facilitates the automatic design of these components.

Turning to the economic analysis, once the budgets of the differents fire protections have been studied and after analysing the protective capacity and features, the following conclusions can be set:

-In particular, the best solution for this industrial building is rock wool, due to the fact that it has a lower cost compared to the other two protections systems studied.

-In terms of protective capacity, the intumescent paint is the pasive protection system wich needs lower thickness to get the required protection level.

-In terms of the aesthetics of the industrial building, the intumescent paint is the only method that preserves the primitive shape of profiles, since both rock wool and plasteboard change the shape of the profiles due to their way of application.

It can be concluded that the best protection for this industrial building from the economic point of view is rock wool, although it must be said that this kind of protection modifies the shape of the profiles. In case of having special specifications of not modifying initial profile sections, intumescent paint will be the proper protection to apply.

14Bibliografía

- Código Técnico de la Edificación (C.T.E.)
- Documento Básico SE (Seguridad Estructural) □
- Documento Básico SE-AE (Acciones en la Edificación)
- Documento Básico SE-A (Acciones de la edificación)
- Documento Básico SE-A (Seguridad Estructural Acero)
- Documento Básico SI (Seguridad en caso de Incendio)
- Proyecto estructural de una nave industrial

ANEXO DE CÁLCULOS

1 Cálculo de las barras

1.1 Cruz de San Andrés de cubierta

Perfil: L 50 x 50 x 5 Material: Acero (S275)										
Nudos		Longitud (m)	Características mecánicas							
Inicial	Final		Área (cm ²)	I _y ⁽¹⁾ (cm ⁴)	I _z ⁽¹⁾ (cm ⁴)	I _{yz} ⁽⁴⁾ (cm ⁴)	I _t ⁽²⁾ (cm ⁴)	y _a ⁽³⁾ (mm)	z _a ⁽³⁾ (mm)	α ⁽⁵⁾ (grados)
N10	N156	8.066	4.80	10.96	10.96	6.45	0.40	11.00	-11.00	-45.0
<p>Notas:</p> <p>(1) Inercia respecto al eje indicado</p> <p>(2) Momento de inercia a torsión uniforme</p> <p>(3) Coordenadas del centro de gravedad</p> <p>(4) Producto de inercia</p> <p>(5) Es el ángulo que forma el eje principal de inercia U respecto al eje Y, positivo en sentido antihorario.</p>										
		Pandeo			Pandeo lateral					
		Plano XY	Plano XZ	Ala sup.	Ala inf.					
β		0.00	0.00	0.00	0.00					
L _K		0.000	0.000	0.000	0.000					
C _m		1.000	1.000	1.000	1.000					
C ₁		-			1.000					
<p>Notación:</p> <p>β: Coeficiente de pandeo</p> <p>L_K: Longitud de pandeo (m)</p> <p>C_m: Coeficiente de momentos</p> <p>C₁: Factor de modificación para el momento crítico</p>										

Barra	COMPROBACIONES (CTE DB SE-A)														Estado
	$\bar{\lambda}$	N _t	N _c	M _y	M _z	V _z	V _y	M _y V _z	M _z V _y	NM _y M _z	NM _y M _z V _y V _z	M _t	M _t V _z	M _t V _y	
N10/N156	$\bar{\lambda} \leq 4.0$ Cumple	η = 44.1	N _{Ed} = 0.00 N.P. ⁽¹⁾	M _{Ed} = 0.00 N.P. ⁽²⁾	M _{Ed} = 0.00 N.P. ⁽²⁾	V _{Ed} = 0.00 N.P. ⁽³⁾	V _{Ed} = 0.00 N.P. ⁽³⁾	N.P. ⁽⁴⁾	N.P. ⁽⁴⁾	N.P. ⁽⁵⁾	N.P. ⁽⁶⁾	M _{Ed} = 0.00 N.P. ⁽⁷⁾	N.P. ⁽⁸⁾	N.P. ⁽⁸⁾	CUMPLE η = 44.1
<p>Notación:</p> <p>$\bar{\lambda}$: Limitación de esbeltez</p> <p>N_t: Resistencia a tracción</p> <p>N_c: Resistencia a compresión</p> <p>M_y: Resistencia a flexión eje Y</p> <p>M_z: Resistencia a flexión eje Z</p> <p>V_z: Resistencia a corte Z</p> <p>V_y: Resistencia a corte Y</p> <p>M_yV_z: Resistencia a momento flector Y y fuerza cortante Z combinados</p> <p>M_zV_y: Resistencia a momento flector Z y fuerza cortante Y combinados</p> <p>NM_yM_z: Resistencia a flexión y axil combinados</p> <p>NM_yM_zV_yV_z: Resistencia a flexión, axil y cortante combinados</p> <p>M_t: Resistencia a torsión</p> <p>M_tV_z: Resistencia a cortante Z y momento torsor combinados</p> <p>M_tV_y: Resistencia a cortante Y y momento torsor combinados</p> <p>x: Distancia al origen de la barra</p> <p>η: Coeficiente de aprovechamiento (%)</p> <p>N.P.: No procede</p>															
<p>Comprobaciones que no proceden (N.P.):</p> <p>(1) La comprobación no procede, ya que no hay axil de compresión.</p> <p>(2) La comprobación no procede, ya que no hay momento flector.</p> <p>(3) La comprobación no procede, ya que no hay esfuerzo cortante.</p> <p>(4) No hay interacción entre momento flector y esfuerzo cortante para ninguna combinación. Por lo tanto, la comprobación no procede.</p> <p>(5) No hay interacción entre axil y momento flector ni entre momentos flectores en ambas direcciones para ninguna combinación. Por lo tanto, la comprobación no procede.</p> <p>(6) No hay interacción entre momento flector, axil y cortante para ninguna combinación. Por lo tanto, la comprobación no procede.</p> <p>(7) La comprobación no procede, ya que no hay momento torsor.</p> <p>(8) No hay interacción entre momento torsor y esfuerzo cortante para ninguna combinación. Por lo tanto, la comprobación no procede.</p>															

Limitación de esbeltez (CTE DB SE-A, Artículos 6.3.1 y 6.3.2.1 - Tabla 6.3)

La esbeltez reducida $\bar{\lambda}$ de las barras de arriostramiento traccionadas no debe superar el valor 4.0.

$$\bar{\lambda} = \sqrt{\frac{A \cdot f_y}{N_{cr}}}$$

$$\bar{\lambda} < \underline{0.01} \quad \checkmark$$

Donde:

A: Área bruta de la sección transversal de la barra.

A : 4.80 cm

f_y: Límite elástico. (CTE DB SE-A, Tabla 4.1)

f_y : 275.00 MPa

N_{cr}: Axil crítico de pandeo elástico.

N_{cr} : ∞

Resistencia a tracción (CTE DB SE-A, Artículo 6.2.3)

Se debe satisfacer:

$$\eta = \frac{N_{t,Ed}}{N_{t,Rd}} \leq 1$$

η : 0.441 ✓

El esfuerzo solicitante de cálculo pésimo se produce para la combinación de acciones 1.35·PP+1.5·Q+0.9·V(0°)H4+0.75·N(EI).

N_{t,Ed}: Axil de tracción solicitante de cálculo pésimo.

N_{t,Ed} : 55.49 kN

La resistencia de cálculo a tracción **N_{t,Rd}** viene dada por:

$$N_{t,Rd} = A \cdot f_{yd}$$

N_{t,Rd} : 125.71 kN

Donde:

A: Área bruta de la sección transversal de la barra.

A : 4.80 cm

f_{yd}: Resistencia de cálculo del acero.

f_{yd} : 261.90 MPa

$$f_{yd} = f_y / \gamma_{M0}$$

Siendo:

f_y: Límite elástico. (CTE DB SE-A, Tabla 4.1)

f_y : 275.00 MPa

γ_{M0}: Coeficiente parcial de seguridad del material.

γ_{M0} : 1.05

Resistencia a compresión (CTE DB SE-A, Artículo 6.2.5)

La comprobación no procede, ya que no hay axil de compresión.

Resistencia a flexión eje Y (CTE DB SE-A, Artículo 6.2.6)

La comprobación no procede, ya que no hay momento flector.

Resistencia a flexión eje Z (CTE DB SE-A, Artículo 6.2.6)

La comprobación no procede, ya que no hay momento flector.

Resistencia a corte Z (CTE DB SE-A, Artículo 6.2.4)

La comprobación no procede, ya que no hay esfuerzo cortante.

Resistencia a corte Y (CTE DB SE-A, Artículo 6.2.4)

La comprobación no procede, ya que no hay esfuerzo cortante.

Resistencia a momento flector Y y fuerza cortante Z combinados (CTE DB SE-A, Artículo 6.2.8)

No hay interacción entre momento flector y esfuerzo cortante para ninguna combinación. Por lo tanto, la comprobación no procede.

Resistencia a momento flector Z y fuerza cortante Y combinados (CTE DB SE-A, Artículo 6.2.8)

No hay interacción entre momento flector y esfuerzo cortante para ninguna combinación. Por lo tanto, la comprobación no procede.

Resistencia a flexión y axil combinados (CTE DB SE-A, Artículo 6.2.8)

No hay interacción entre axil y momento flector ni entre momentos flectores en ambas direcciones para ninguna combinación. Por lo tanto, la comprobación no procede.

Resistencia a flexión, axil y cortante combinados (CTE DB SE-A, Artículo 6.2.8)

No hay interacción entre momento flector, axil y cortante para ninguna combinación. Por lo tanto, la comprobación no procede.

Resistencia a torsión (CTE DB SE-A, Artículo 6.2.7)

La comprobación no procede, ya que no hay momento torsor.

Resistencia a cortante Z y momento torsor combinados (CTE DB SE-A, Artículo 6.2.8)

No hay interacción entre momento torsor y esfuerzo cortante para ninguna combinación. Por lo tanto, la comprobación no procede.

Resistencia a cortante Y y momento torsor combinados (CTE DB SE-A, Artículo 6.2.8)

No hay interacción entre momento torsor y esfuerzo cortante para ninguna combinación. Por lo tanto, la comprobación no procede.

1.2 Cruz de San Andrés de los laterales

Perfil: L 50 x 50 x 5 Material: Acero (S275)											
Nudos		Longitud (m)	Características mecánicas								
Inicial	Final		Área (cm ²)	I _y ⁽¹⁾ (cm ⁴)	I _z ⁽¹⁾ (cm ⁴)	I _{yz} ⁽⁴⁾ (cm ⁴)	I _t ⁽²⁾ (cm ⁴)	y _g ⁽³⁾ (mm)	z _g ⁽³⁾ (mm)	α ⁽⁵⁾ (grados)	
N9	N2	8.602	4.80	10.96	10.96	6.45	0.40	11.00	-11.00	-45.0	
Notas: (1) Inercia respecto al eje indicado (2) Momento de inercia a torsión uniforme (3) Coordenadas del centro de gravedad (4) Producto de inercia (5) Es el ángulo que forma el eje principal de inercia U respecto al eje Y, positivo en sentido antihorario.											
		Pandeo			Pandeo lateral						
		Plano XY		Plano XZ		Ala sup.		Ala inf.			
β		0.00		0.00		0.00		0.00			
L _K		0.000		0.000		0.000		0.000			
C _m		1.000		1.000		1.000		1.000			
C ₁		-		-		1.000		1.000			
Notación: β: Coeficiente de pandeo L _K : Longitud de pandeo (m) C _m : Coeficiente de momentos C ₁ : Factor de modificación para el momento crítico											

Barra	COMPROBACIONES (CTE DB SE-A)													Estado	
	$\bar{\lambda}$	N _t	N _c	M _y	M _z	V _z	V _y	M _y V _z	M _z V _y	NM _y M _z	NM _y M _z V _y V _z	M _t	M _t V _z		M _t V _y
N9/N2	$\bar{\lambda} \leq 4.0$ Cumple	η = 28.0	N _{Ed} = 0.00 N.P. ⁽¹⁾	M _{Ed} = 0.00 N.P. ⁽²⁾	M _{Ed} = 0.00 N.P. ⁽²⁾	V _{Ed} = 0.00 N.P. ⁽³⁾	V _{Ed} = 0.00 N.P. ⁽³⁾	N.P. ⁽⁴⁾	N.P. ⁽⁴⁾	N.P. ⁽⁵⁾	N.P. ⁽⁶⁾	M _{Ed} = 0.00 N.P. ⁽⁷⁾	N.P. ⁽⁸⁾	N.P. ⁽⁸⁾	CUMPLE η = 28.0
Notación: λ̄: Limitación de esbeltez N _t : Resistencia a tracción N _c : Resistencia a compresión M _y : Resistencia a flexión eje Y M _z : Resistencia a flexión eje Z V _z : Resistencia a corte Z V _y : Resistencia a corte Y M _y V _z : Resistencia a momento flector Y y fuerza cortante Z combinados M _z V _y : Resistencia a momento flector Z y fuerza cortante Y combinados NM _y M _z : Resistencia a flexión y axil combinados NM _y M _z V _y V _z : Resistencia a flexión, axil y cortante combinados M _t : Resistencia a torsión M _t V _z : Resistencia a cortante Z y momento torsor combinados M _t V _y : Resistencia a cortante Y y momento torsor combinados x: Distancia al origen de la barra η: Coeficiente de aprovechamiento (%) N.P.: No procede															
Comprobaciones que no proceden (N.P.): (1) La comprobación no procede, ya que no hay axil de compresión. (2) La comprobación no procede, ya que no hay momento flector. (3) La comprobación no procede, ya que no hay esfuerzo cortante. (4) No hay interacción entre momento flector y esfuerzo cortante para ninguna combinación. Por lo tanto, la comprobación no procede. (5) No hay interacción entre axil y momento flector ni entre momentos flectores en ambas direcciones para ninguna combinación. Por lo tanto, la comprobación no procede. (6) No hay interacción entre momento flector, axil y cortante para ninguna combinación. Por lo tanto, la comprobación no procede. (7) La comprobación no procede, ya que no hay momento torsor. (8) No hay interacción entre momento torsor y esfuerzo cortante para ninguna combinación. Por lo tanto, la comprobación no procede.															

Limitación de esbeltez (CTE DB SE-A, Artículos 6.3.1 y 6.3.2.1 - Tabla 6.3)

La esbeltez reducida $\bar{\lambda}$ de las barras de arriostramiento traccionadas no debe superar el valor 4.0.

$$\bar{\lambda} = \sqrt{\frac{A \cdot f_y}{N_{cr}}}$$

$$\bar{\lambda} < \underline{0.01} \quad \checkmark$$

Donde:

A: Área bruta de la sección transversal de la barra.

A: 4.80 cm

f_y: Límite elástico. (CTE DB SE-A, Tabla 4.1)

f_y: 275.00 MPa

N_{cr} : Axil crítico de pandeo elástico.

N_{cr} : ∞

Resistencia a tracción (CTE DB SE-A, Artículo 6.2.3)

Se debe satisfacer:

$$\eta = \frac{N_{t,Ed}}{N_{t,Rd}} \leq 1$$

η : 0.280 ✓

El esfuerzo solicitante de cálculo pésimo se produce para la combinación de acciones $1.35 \cdot PP + 1.05 \cdot Q + 1.5 \cdot V(0^\circ)H3 + 0.75 \cdot N(EI)$.

$N_{t,Ed}$: Axil de tracción solicitante de cálculo pésimo.

$N_{t,Ed}$: 35.23 kN

La resistencia de cálculo a tracción $N_{t,Rd}$ viene dada por:

$$N_{t,Rd} = A \cdot f_{yd}$$

$N_{t,Rd}$: 125.71 kN

Donde:

A : Área bruta de la sección transversal de la barra.

A : 4.80 cm

f_{yd} : Resistencia de cálculo del acero.

f_{yd} : 261.90 MPa

$$f_{yd} = f_y / \gamma_{M0}$$

Siendo:

f_y : Límite elástico. (CTE DB SE-A, Tabla 4.1)

f_y : 275.00 MPa

γ_{M0} : Coeficiente parcial de seguridad del material.

γ_{M0} : 1.05

Resistencia a compresión (CTE DB SE-A, Artículo 6.2.5)

La comprobación no procede, ya que no hay axil de compresión.

Resistencia a flexión eje Y (CTE DB SE-A, Artículo 6.2.6)

La comprobación no procede, ya que no hay momento flector.

Resistencia a flexión eje Z (CTE DB SE-A, Artículo 6.2.6)

La comprobación no procede, ya que no hay momento flector.

Resistencia a corte Z (CTE DB SE-A, Artículo 6.2.4)

La comprobación no procede, ya que no hay esfuerzo cortante.

Resistencia a corte Y (CTE DB SE-A, Artículo 6.2.4)

La comprobación no procede, ya que no hay esfuerzo cortante.

Resistencia a momento flector Y y fuerza cortante Z combinados (CTE DB SE-A, Artículo 6.2.8)

No hay interacción entre momento flector y esfuerzo cortante para ninguna combinación. Por lo tanto, la comprobación no procede.

Resistencia a momento flector Z y fuerza cortante Y combinados (CTE DB SE-A, Artículo 6.2.8)

No hay interacción entre momento flector y esfuerzo cortante para ninguna combinación. Por lo tanto, la comprobación no procede.

Resistencia a flexión y axil combinados (CTE DB SE-A, Artículo 6.2.8)

No hay interacción entre axil y momento flector ni entre momentos flectores en ambas direcciones para ninguna combinación. Por lo tanto, la comprobación no procede.

Resistencia a flexión, axil y cortante combinados (CTE DB SE-A, Artículo 6.2.8)

No hay interacción entre momento flector, axil y cortante para ninguna combinación. Por lo tanto, la comprobación no procede.

Resistencia a torsión (CTE DB SE-A, Artículo 6.2.7)

La comprobación no procede, ya que no hay momento torsor.

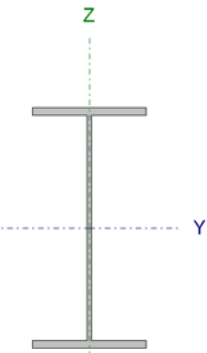
Resistencia a cortante Z y momento torsor combinados (CTE DB SE-A, Artículo 6.2.8)

No hay interacción entre momento torsor y esfuerzo cortante para ninguna combinación. Por lo tanto, la comprobación no procede.

Resistencia a cortante Y y momento torsor combinados (CTE DB SE-A, Artículo 6.2.8)

No hay interacción entre momento torsor y esfuerzo cortante para ninguna combinación. Por lo tanto, la comprobación no procede.

1.3 Jácena exterior pórtico de fachada

Perfil: IPE 360 Material: Acero (S275)						
	Nudos		Longitud (m)	Características mecánicas		
	Inicial	Final		Área (cm ²)	I _y ⁽¹⁾ (cm ⁴)	I _z ⁽¹⁾ (cm ⁴)
	N2	N156	6.329	72.70	16270.00	1043.00
Notas: (1) Inercia respecto al eje indicado (2) Momento de inercia a torsión uniforme						
		Pandeo		Pandeo lateral		
		Plano XY	Plano XZ	Ala sup.	Ala inf.	
β	0.00	1.00	0.00	0.00	0.00	
L _K	0.000	6.329	0.000	0.000	0.000	
C _m	1.000	1.000	1.000	1.000	1.000	
C ₁	-		1.000			
Notación: β: Coeficiente de pandeo L _K : Longitud de pandeo (m) C _m : Coeficiente de momentos C ₁ : Factor de modificación para el momento crítico						

Barra	COMPROBACIONES (CTE DB SE-A)													Estado		
	$\bar{\lambda}$	λ_w	N _t	N _c	M _y	M _z	V _z	V _y	M _y V _z	M _z V _y	NM _y M _z	NM _y M _z V _y V _z	M _t		M _t V _z	M _t V _y
N2/N156	$\bar{\lambda} < 2.0$ Cumple	$\lambda_w \leq \lambda_{w,max}$ Cumple	x: 6.329 m η = 0.5	x: 0.183 m η = 1.2	x: 0.183 m η = 6.9	x: 6.329 m η = 5.5	x: 6.329 m η = 3.6	x: 6.329 m η = 0.2	η < 0.1	η < 0.1	x: 6.329 m η = 10.7	η < 0.1	η = 27.4	x: 6.329 m η = 2.5	x: 0.183 m η < 0.1	CUMPLE η = 27.4
Notación: λ̄: Limitación de esbeltez λ _w : Abolladura del alma inducida por el ala comprimida N _t : Resistencia a tracción N _c : Resistencia a compresión M _y : Resistencia a flexión eje Y M _z : Resistencia a flexión eje Z V _y : Resistencia a corte Y V _z : Resistencia a corte Z M _y V _z : Resistencia a momento flector Y y fuerza cortante Z combinados M _z V _y : Resistencia a momento flector Z y fuerza cortante Y combinados NM _y M _z : Resistencia a flexión y axil combinados NM _y M _z V _y V _z : Resistencia a flexión, axil y cortante combinados M _t : Resistencia a torsión M _t V _z : Resistencia a cortante Z y momento torsor combinados M _t V _y : Resistencia a cortante Y y momento torsor combinados x: Distancia al origen de la barra η: Coeficiente de aprovechamiento (%)																

Limitación de esbeltez (CTE DB SE-A, Artículos 6.3.1 y 6.3.2.1 - Tabla 6.3)

La esbeltez reducida $\bar{\lambda}$ de las barras comprimidas debe ser inferior al valor 2.0.

$$\bar{\lambda} = \sqrt{\frac{A_{ef} \cdot f_y}{N_{cr}}}$$

$$\bar{\lambda} : \quad \mathbf{0.48} \quad \checkmark$$

Donde:

Clase: Clase de la sección, según la capacidad de deformación y de desarrollo de la resistencia plástica de los elementos planos comprimidos de una sección. **Clase :** 4

A_{ef}: Área de la sección eficaz para las secciones de clase 4. **A_{ef} :** 70.26 cm

f_y: Límite elástico. (CTE DB SE-A, Tabla 4.1) **f_y :** 275.00 MPa

N_{cr}: Axil crítico de pandeo elástico. **N_{cr} :** 8417.22 kN

El axil crítico de pandeo elástico **N_{cr}** es el menor de los valores obtenidos en a), b) y c):

a) Axil crítico elástico de pandeo por flexión respecto al eje Y. **N_{cr,v} :** 8417.22 kN

$$N_{cr,y} = \frac{\pi^2 \cdot E \cdot I_y}{L_{ky}^2}$$

b) Axil crítico elástico de pandeo por flexión respecto al eje Z.

$$N_{cr,z} = \frac{\pi^2 \cdot E \cdot I_z}{L_{kz}^2}$$

$$N_{cr,z} : \underline{\quad \infty \quad}$$

c) Axil crítico elástico de pandeo por torsión.

$$N_{cr,T} = \frac{1}{i_0^2} \cdot \left[G \cdot I_t + \frac{\pi^2 \cdot E \cdot I_w}{L_{kt}^2} \right]$$

$$N_{cr,T} : \underline{\quad \infty \quad}$$

Donde:

I_y: Momento de inercia de la sección bruta, respecto al eje Y.

$$I_y : \underline{16270.00} \text{ cm}^4$$

I_z: Momento de inercia de la sección bruta, respecto al eje Z.

$$I_z : \underline{1043.00} \text{ cm}^4$$

I_t: Momento de inercia a torsión uniforme.

$$I_t : \underline{37.30} \text{ cm}^4$$

I_w: Constante de alabeo de la sección.

$$I_w : \underline{314000.00} \text{ cm}^6$$

E: Módulo de elasticidad.

$$E : \underline{210000} \text{ MPa}$$

G: Módulo de elasticidad transversal.

$$G : \underline{81000} \text{ MPa}$$

L_{ky}: Longitud efectiva de pandeo por flexión, respecto al eje Y.

$$L_{ky} : \underline{6.329} \text{ m}$$

L_{kz}: Longitud efectiva de pandeo por flexión, respecto al eje Z.

$$L_{kz} : \underline{0.000} \text{ m}$$

L_{kt}: Longitud efectiva de pandeo por torsión.

$$L_{kt} : \underline{0.000} \text{ m}$$

i₀: Radio de giro polar de la sección bruta, respecto al centro de torsión.

$$i_0 : \underline{15.43} \text{ cm}$$

$$i_0 = (i_y^2 + i_z^2 + y_0^2 + z_0^2)^{0.5}$$

Siendo:

i_y, **i_z**: Radios de giro de la sección bruta, respecto a los ejes principales de inercia Y y Z.

$$i_y : \underline{14.96} \text{ cm}$$

$$i_z : \underline{3.79} \text{ cm}$$

y₀, **z₀**: Coordenadas del centro de torsión en la dirección de los ejes principales Y y Z, respectivamente, relativas al centro de gravedad de la sección.

$$y_0 : \underline{0.00} \text{ mm}$$

$$z_0 : \underline{0.00} \text{ mm}$$

Abolladura del alma inducida por el ala comprimida (Criterio de CYPE Ingenieros, basado en: Eurocódigo 3 EN 1993-1-5: 2006, Artículo 8)

Se debe satisfacer:

$$\frac{h_w}{t_w} \leq k \frac{E}{f_{yf}} \sqrt{\frac{A_w}{A_{fc,ef}}}$$

$$41.83 \leq 255.09 \checkmark$$

Donde:

h_w: Altura del alma.

$$h_w : \underline{334.60} \text{ mm}$$

t_w: Espesor del alma.

$$t_w : \underline{8.00} \text{ mm}$$

A_w: Área del alma.

$$A_w : \underline{26.77} \text{ cm}$$

A_{fc,ef}: Área reducida del ala comprimida.

$$A_{fc,ef} : \underline{21.59} \text{ cm}$$

k: Coeficiente que depende de la clase de la sección. **k** : 0.30
E: Módulo de elasticidad. **E** : 210000 MPa
f_{vf}: Límite elástico del acero del ala comprimida. **f_{vf}** : 275.00 MPa

Siendo:

$$f_{vf} = f_y$$

Resistencia a tracción (CTE DB SE-A, Artículo 6.2.3)

Se debe satisfacer:

$$\eta = \frac{N_{t,Ed}}{N_{t,Rd}} \leq 1 \quad \eta : \underline{0.005} \quad \checkmark$$

El esfuerzo solicitante de cálculo pésimo se produce en el nudo N156, para la combinación de acciones 1.35·PP+0.9·V(90°)H1+1.5·N(R)2.

N_{t,Ed}: Axil de tracción solicitante de cálculo pésimo. **N_{t,Ed}** : 8.68 kN

La resistencia de cálculo a tracción **N_{t,Rd}** viene dada por:

$$N_{t,Rd} = A \cdot f_{yd} \quad N_{t,Rd} : \underline{1904.05} \text{ kN}$$

Donde:

A: Área bruta de la sección transversal de la barra. **A** : 72.70 cm

f_{yd}: Resistencia de cálculo del acero. **f_{yd}** : 261.90 MPa

$$f_{yd} = f_y / \gamma_{M0}$$

Siendo:

f_y: Límite elástico. (CTE DB SE-A, Tabla 4.1) **f_y** : 275.00 MPa

γ_{M0}: Coeficiente parcial de seguridad del material. **γ_{M0}** : 1.05

Resistencia a compresión (CTE DB SE-A, Artículo 6.2.5)

Se debe satisfacer:

$$\eta = \frac{N_{c,Ed}}{N_{c,Rd}} \leq 1 \quad \eta : \underline{0.011} \quad \checkmark$$

$$\eta = \frac{N_{c,Ed}}{N_{b,Rd}} \leq 1 \quad \eta : \underline{0.012} \quad \checkmark$$

El esfuerzo solicitante de cálculo pésimo se produce en un punto situado a una distancia de 0.183 m del nudo N2, para la combinación de acciones 0.8·PP+1.5·V(90°)H2.

N_{c,Ed}: Axil de compresión solicitante de cálculo pésimo. **N_{c,Ed}** : 21.15 kN

La resistencia de cálculo a compresión $N_{c,Rd}$ viene dada por:

$$N_{c,Rd} = A_{ef} \cdot f_{yd} \quad N_{c,Rd} : \underline{1840.02} \text{ kN}$$

Donde:

Clase: Clase de la sección, según la capacidad de deformación y de desarrollo de la resistencia plástica de los elementos planos comprimidos de una sección.

$$\text{Clase} : \underline{4}$$

A_{ef}: Área de la sección eficaz para las secciones de clase 4.

$$A_{ef} : \underline{70.26} \text{ cm}$$

f_{yd}: Resistencia de cálculo del acero.

$$f_{yd} : \underline{261.90} \text{ MPa}$$

$$f_{yd} = f_y / \gamma_{M0}$$

Siendo:

f_y: Límite elástico. (CTE DB SE-A, Tabla 4.1)

$$f_y : \underline{275.00} \text{ MPa}$$

γ_{M0}: Coeficiente parcial de seguridad del material.

$$\gamma_{M0} : \underline{1.05}$$

Resistencia a pandeo: (CTE DB SE-A, Artículo 6.3.2)

La resistencia de cálculo a pandeo $N_{b,Rd}$ en una barra comprimida viene dada por:

$$N_{b,Rd} = \chi \cdot A_{ef} \cdot f_{yd} \quad N_{b,Rd} : \underline{1712.39} \text{ kN}$$

Donde:

A_{ef}: Área de la sección eficaz para las secciones de clase 4.

$$A_{ef} : \underline{70.26} \text{ cm}$$

f_{yd}: Resistencia de cálculo del acero.

$$f_{yd} : \underline{261.90} \text{ MPa}$$

$$f_{yd} = f_y / \gamma_{M1}$$

Siendo:

f_y: Límite elástico. (CTE DB SE-A, Tabla 4.1)

$$f_y : \underline{275.00} \text{ MPa}$$

γ_{M1}: Coeficiente parcial de seguridad del material.

$$\gamma_{M1} : \underline{1.05}$$

χ: Coeficiente de reducción por pandeo.

$$\chi = \frac{1}{\Phi + \sqrt{\Phi^2 - (\bar{\lambda})^2}} \leq 1$$

$$\chi_y : \underline{0.93}$$

Siendo:

$$\Phi = 0.5 \cdot \left[1 + \alpha \cdot (\bar{\lambda} - 0.2) + (\bar{\lambda})^2 \right]$$

$$\phi_y : \underline{0.64}$$

α: Coeficiente de imperfección elástica.

$$\alpha_y : \underline{0.21}$$

λ̄: Esbeltez reducida.

$$\bar{\lambda} = \sqrt{\frac{A_{ef} \cdot f_y}{N_{cr}}}$$

$$\bar{\lambda}_y : \underline{0.48}$$

N_{cr}: Axil crítico elástico de pandeo, obtenido como el menor de los siguientes valores:

$$N_{cr} : \underline{8417.22} \text{ kN}$$

N_{cr,y}: Axil crítico elástico de pandeo por flexión respecto al eje Y.

$$N_{cr,y} : \underline{8417.22} \text{ kN}$$

N_{cr,z}: Axil crítico elástico de pandeo por flexión respecto al eje Z.

$$N_{cr,z} : \underline{\infty}$$

$N_{cr,T}$: Axil crítico elástico de pandeo por torsión.

$N_{cr,T}$: ∞

Resistencia a flexión eje Y (CTE DB SE-A, Artículo 6.2.6)

Se debe satisfacer:

$$\eta = \frac{M_{Ed}}{M_{c,Rd}} \leq 1$$

η : 0.069 ✓

Para flexión positiva:

El esfuerzo solicitante de cálculo pésimo se produce en un punto situado a una distancia de 0.183 m del nudo N2, para la combinación de acciones 0.8·PP+1.5·V(90°)H1.

M_{Ed}^+ : Momento flector solicitante de cálculo pésimo.

M_{Ed}^+ : 11.02 kN·m

Para flexión negativa:

El esfuerzo solicitante de cálculo pésimo se produce en un punto situado a una distancia de 0.183 m del nudo N2, para la combinación de acciones 1.35·PP+1.05·Q+1.5·V(180°)H4+0.75·N(R)1.

M_{Ed}^- : Momento flector solicitante de cálculo pésimo.

M_{Ed}^- : 18.35 kN·m

El momento flector resistente de cálculo $M_{c,Rd}$ viene dado por:

$$M_{c,Rd} = W_{pl,y} \cdot f_{yd}$$

$M_{c,Rd}$: 266.88 kN·m

Donde:

Clase: Clase de la sección, según la capacidad de deformación y de desarrollo de la resistencia plástica de los elementos planos de una sección a flexión simple.

Clase: 1

$W_{pl,y}$: Módulo resistente plástico correspondiente a la fibra con mayor tensión, para las secciones de clase 1 y 2.

$W_{pl,y}$: 1019.00 cm

f_{yd} : Resistencia de cálculo del acero.

f_{yd} : 261.90 MPa

$$f_{yd} = f_y / \gamma_{M0}$$

Siendo:

f_y : Límite elástico. (CTE DB SE-A, Tabla 4.1)

f_y : 275.00 MPa

γ_{M0} : Coeficiente parcial de seguridad del material.

γ_{M0} : 1.05

Resistencia a pandeo lateral: (CTE DB SE-A, Artículo 6.3.3.2)

No procede, dado que las longitudes de pandeo lateral son nulas.

Resistencia a flexión eje Z (CTE DB SE-A, Artículo 6.2.6)

Se debe satisfacer:

$$\eta = \frac{M_{Ed}}{M_{c,Rd}} \leq 1$$

η : 0.055 ✓

Para flexión positiva:

El esfuerzo solicitante de cálculo pésimo se produce en el nudo N156, para la combinación de acciones $1.35 \cdot PP + 1.05 \cdot Q + 1.5 \cdot V(180^\circ)H1 + 0.75 \cdot N(R)2$.

M_{Ed}^+ : Momento flector solicitante de cálculo pésimo.

$$M_{Ed}^+ : \underline{2.75} \text{ kN}\cdot\text{m}$$

Para flexión negativa:

El esfuerzo solicitante de cálculo pésimo se produce en el nudo N156, para la combinación de acciones $0.8 \cdot PP + 1.5 \cdot V(90^\circ)H2$.

M_{Ed}^- : Momento flector solicitante de cálculo pésimo.

$$M_{Ed}^- : \underline{2.66} \text{ kN}\cdot\text{m}$$

El momento flector resistente de cálculo $M_{c,Rd}$ viene dado por:

$$M_{c,Rd} = W_{pl,z} \cdot f_{yd}$$

$$M_{c,Rd} : \underline{50.02} \text{ kN}\cdot\text{m}$$

Donde:

Clase: Clase de la sección, según la capacidad de deformación y de desarrollo de la resistencia plástica de los elementos planos de una sección a flexión simple.

$$\text{Clase} : \underline{1}$$

$W_{pl,z}$: Módulo resistente plástico correspondiente a la fibra con mayor tensión, para las secciones de clase 1 y 2.

$$W_{pl,z} : \underline{191.00} \text{ cm}$$

f_{yd} : Resistencia de cálculo del acero.

$$f_{yd} : \underline{261.90} \text{ MPa}$$

$$f_{yd} = f_y / \gamma_{M0}$$

Siendo:

f_y : Límite elástico. (CTE DB SE-A, Tabla 4.1)

$$f_y : \underline{275.00} \text{ MPa}$$

γ_{M0} : Coeficiente parcial de seguridad del material.

$$\gamma_{M0} : \underline{1.05}$$

Resistencia a corte Z (CTE DB SE-A, Artículo 6.2.4)

Se debe satisfacer:

$$\eta = \frac{V_{Ed}}{V_{c,Rd}} \leq 1$$

$$\eta : \underline{0.036} \checkmark$$

El esfuerzo solicitante de cálculo pésimo se produce en el nudo N156, para la combinación de acciones $1.35 \cdot PP + 1.05 \cdot Q + 1.5 \cdot V(0^\circ)H4 + 0.75 \cdot N(R)2$.

V_{Ed} : Esfuerzo cortante solicitante de cálculo pésimo.

$$V_{Ed} : \underline{15.47} \text{ kN}$$

El esfuerzo cortante resistente de cálculo $V_{c,Rd}$ viene dado por:

$$V_{c,Rd} = A_v \cdot \frac{f_{yd}}{\sqrt{3}}$$

$$V_{c,Rd} : \underline{435.49} \text{ kN}$$

Donde:

A_v : Área transversal a cortante.

$$A_v : \underline{28.80} \text{ cm}$$

$$A_v = h \cdot t_w$$

Siendo:

h: Canto de la sección. **h** : 360.00 mm
t_w: Espesor del alma. **t_w** : 8.00 mm

f_{vd}: Resistencia de cálculo del acero. **f_{vd}** : 261.90 MPa

$$f_{vd} = f_y / \gamma_{M0}$$

Siendo:

f_y: Límite elástico. (CTE DB SE-A, Tabla 4.1) **f_y** : 275.00 MPa

γ_{M0}: Coeficiente parcial de seguridad del material. **γ_{M0}** : 1.05

Abolladura por cortante del alma: (CTE DB SE-A, Artículo 6.3.3.4)

Aunque no se han dispuesto rigidizadores transversales, no es necesario comprobar la resistencia a la abolladura del alma, puesto que se cumple:

$$\frac{d}{t_w} < 70 \cdot \varepsilon \quad \mathbf{41.83 < 64.71} \quad \checkmark$$

Donde:

λ_w: Esbeltez del alma. **λ_w** : 41.83

$$\lambda_w = \frac{d}{t_w}$$

λ_{máx}: Esbeltez máxima. **λ_{máx}** : 64.71

$$\lambda_{max} = 70 \cdot \varepsilon$$

ε: Factor de reducción. **ε** : 0.92

$$\varepsilon = \sqrt{\frac{f_{ref}}{f_y}}$$

Siendo:

f_{ref}: Límite elástico de referencia. **f_{ref}** : 235.00 MPa

f_y: Límite elástico. (CTE DB SE-A, Tabla 4.1) **f_y** : 275.00 MPa

Resistencia a corte Y (CTE DB SE-A, Artículo 6.2.4)

Se debe satisfacer:

$$\eta = \frac{V_{Ed}}{V_{c,Rd}} \leq 1 \quad \mathbf{\eta : 0.002} \quad \checkmark$$

El esfuerzo solicitante de cálculo pésimo se produce en el nudo N156, para la combinación de acciones 0.8·PP+1.5·V(90°)H2.

V_{Ed}: Esfuerzo cortante solicitante de cálculo pésimo. **V_{Ed}** : 1.09 kN

El esfuerzo cortante resistente de cálculo **V_{c,Rd}** viene dado por:

$$V_{c,Rd} = A_v \cdot \frac{f_{yd}}{\sqrt{3}} \quad \mathbf{V_{c,Rd} : 694.54} \quad \text{kN}$$

Donde:

A_v : Área transversal a cortante.	A_v : <u>45.93</u> cm
$A_v = A - d \cdot t_w$	
Siendo:	
A : Área de la sección bruta.	A : <u>72.70</u> cm
d : Altura del alma.	d : <u>334.60</u> mm
t_w : Espesor del alma.	t_w : <u>8.00</u> mm
f_{yd} : Resistencia de cálculo del acero.	f_{yd} : <u>261.90</u> MPa
$f_{yd} = f_y / \gamma_{M0}$	
Siendo:	
f_y : Límite elástico. (CTE DB SE-A, Tabla 4.1)	f_y : <u>275.00</u> MPa
γ_{M0} : Coeficiente parcial de seguridad del material.	γ_{M0} : <u>1.05</u>

Resistencia a momento flector Y y fuerza cortante Z combinados (CTE DB SE-A, Artículo 6.2.8)

No es necesario reducir la resistencia de cálculo a flexión, ya que el esfuerzo cortante solicitante de cálculo pésimo **V_{Ed}** no es superior al 50% de la resistencia de cálculo a cortante **V_{c,Rd}**.

$$V_{Ed} \leq \frac{V_{c,Rd}}{2} \quad 11.00 \text{ kN} \leq 217.74 \text{ kN} \quad \checkmark$$

Los esfuerzos solicitantes de cálculo pésimos se producen para la combinación de acciones 1.35·PP+1.5·Q+0.9·V(180°)H4+0.75·N(EI).

V_{Ed}: Esfuerzo cortante solicitante de cálculo pésimo. **V_{Ed}** : 11.00 kN

V_{c,Rd}: Esfuerzo cortante resistente de cálculo. **V_{c,Rd}** : 435.49 kN

Resistencia a momento flector Z y fuerza cortante Y combinados (CTE DB SE-A, Artículo 6.2.8)

No es necesario reducir la resistencia de cálculo a flexión, ya que el esfuerzo cortante solicitante de cálculo pésimo **V_{Ed}** no es superior al 50% de la resistencia de cálculo a cortante **V_{c,Rd}**.

$$V_{Ed} \leq \frac{V_{c,Rd}}{2} \quad 0.90 \text{ kN} \leq 347.27 \text{ kN} \quad \checkmark$$

Los esfuerzos solicitantes de cálculo pésimos se producen para la combinación de acciones 0.8·PP+1.5·V(0°)H1.

V_{Ed}: Esfuerzo cortante solicitante de cálculo pésimo. **V_{Ed}** : 0.90 kN

V_{c,Rd}: Esfuerzo cortante resistente de cálculo. **V_{c,Rd}** : 694.54 kN

Resistencia a flexión y axil combinados (CTE DB SE-A, Artículo 6.2.8)

Se debe satisfacer:

$$\eta = \frac{N_{c,Ed}}{N_{pl,Rd}} + \frac{M_{y,Ed}}{M_{el,Rd,y}} + \frac{M_{z,Ed}}{M_{el,Rd,z}} \leq 1 \quad \eta : \underline{0.106} \quad \checkmark$$

$$\eta = \frac{N_{c,Ed}}{\chi_y \cdot A \cdot f_{yd}} + k_y \cdot \frac{C_{m,y} \cdot M_{y,Ed}}{\chi_{LT} \cdot W_{el,y} \cdot f_{yd}} + \alpha_z \cdot k_z \cdot \frac{C_{m,z} \cdot M_{z,Ed}}{W_{el,z} \cdot f_{yd}} \leq 1 \quad \eta : \underline{0.107} \quad \checkmark$$

$$\eta = \frac{N_{c,Ed}}{\chi_z \cdot A \cdot f_{yd}} + \alpha_y \cdot k_y \cdot \frac{C_{m,y} \cdot M_{y,Ed}}{W_{el,y} \cdot f_{yd}} + k_z \cdot \frac{C_{m,z} \cdot M_{z,Ed}}{W_{el,z} \cdot f_{yd}} \leq 1 \quad \eta : \underline{0.103} \quad \checkmark$$

Los esfuerzos solicitantes de cálculo pésimos se producen en el nudo N156, para la combinación de acciones 0.8·PP+1.5·V(90°)H2.

Donde:

N_{c,Ed} : Axil de compresión solicitante de cálculo pésimo.	N_{c,Ed} : <u>20.18</u> kN
M_{y,Ed} , M_{z,Ed} : Momentos flectores solicitantes de cálculo pésimos, según los ejes Y y Z, respectivamente.	M_{y,Ed}⁺ : <u>2.99</u> kN·m
	M_{z,Ed}⁻ : <u>2.66</u> kN·m
Clase : Clase de la sección, según la capacidad de deformación y de desarrollo de la resistencia plástica de sus elementos planos, para axil y flexión simple.	Clase : <u>3</u>
N_{pl,Rd} : Resistencia a compresión de la sección bruta.	N_{pl,Rd} : <u>1904.05</u> kN
M_{el,Rd,y} , M_{el,Rd,z} : Resistencia a flexión de la sección bruta en condiciones elásticas, respecto a los ejes Y y Z, respectivamente.	M_{el,Rd,y} : <u>236.73</u> kN·m
	M_{el,Rd,z} : <u>32.14</u> kN·m

Resistencia a pandeo: (CTE DB SE-A, Artículo 6.3.4.2)

A : Área de la sección bruta.	A : <u>72.70</u> cm
W_{el,y} , W_{el,z} : Módulos resistentes elásticos correspondientes a la fibra comprimida, alrededor de los ejes Y y Z, respectivamente.	W_{el,y} : <u>903.89</u> cm
	W_{el,z} : <u>122.71</u> cm
f_{yd} : Resistencia de cálculo del acero.	f_{yd} : <u>261.90</u> MPa
$f_{yd} = f_y / \gamma_{M1}$	
Siendo:	
f_y : Límite elástico. (CTE DB SE-A, Tabla 4.1)	f_y : <u>275.00</u> MPa
γ_{M1} : Coeficiente parcial de seguridad del material.	γ_{M1} : <u>1.05</u>

k_y, **k_z**: Coeficientes de interacción.

$$k_y = 1 + 0.6 \cdot \bar{\lambda}_y \cdot \frac{N_{c,Ed}}{\chi_y \cdot N_{c,Rd}} \quad k_y : \underline{1.00}$$

$$k_z = 1 + 0.6 \cdot \bar{\lambda}_z \cdot \frac{N_{c,Ed}}{\chi_z \cdot N_{c,Rd}} \quad k_z : \underline{1.00}$$

$C_{m,y}$, $C_{m,z}$: Factores de momento flector uniforme equivalente.	$C_{m,y}$: <u>1.00</u>
	$C_{m,z}$: <u>1.00</u>
χ_y , χ_z : Coeficientes de reducción por pandeo, alrededor de los ejes Y y Z, respectivamente.	χ_y : <u>0.93</u>
	χ_z : <u>1.00</u>
$\bar{\lambda}_y$, $\bar{\lambda}_z$: Esbelteces reducidas con valores no mayores que 1.00, en relación a los ejes Y y Z, respectivamente.	$\bar{\lambda}_y$: <u>0.49</u>
	$\bar{\lambda}_z$: <u>0.00</u>
α_y , α_z : Factores dependientes de la clase de la sección.	α_y : <u>0.80</u>
	α_z : <u>1.00</u>

Resistencia a flexión, axil y cortante combinados (CTE DB SE-A, Artículo 6.2.8)

No es necesario reducir las resistencias de cálculo a flexión y a axil, ya que se puede ignorar el efecto de abolladura por esfuerzo cortante y, además, el esfuerzo cortante solicitante de cálculo pésimo V_{Ed} es menor o igual que el 50% del esfuerzo cortante resistente de cálculo $V_{c,Rd}$.

Los esfuerzos solicitantes de cálculo pésimos se producen para la combinación de acciones $1.35 \cdot PP + 1.5 \cdot Q + 0.9 \cdot V(180^\circ)H4 + 0.75 \cdot N(EI)$.

$$V_{Ed,z} \leq \frac{V_{c,Rd,z}}{2} \quad \mathbf{11.00 \text{ kN} \leq 216.98 \text{ kN}} \quad \checkmark$$

Donde:

$V_{Ed,z}$: Esfuerzo cortante solicitante de cálculo pésimo.	$V_{Ed,z}$: <u>11.00</u> kN
$V_{c,Rd,z}$: Esfuerzo cortante resistente de cálculo.	$V_{c,Rd,z}$: <u>433.95</u> kN

Resistencia a torsión (CTE DB SE-A, Artículo 6.2.7)

Se debe satisfacer:

$$\eta = \frac{M_{T,Ed}}{M_{T,Rd}} \leq 1 \quad \eta : \mathbf{0.274} \quad \checkmark$$

El esfuerzo solicitante de cálculo pésimo se produce para la combinación de acciones $1.35 \cdot PP + 1.05 \cdot Q + 1.5 \cdot V(180^\circ)H1 + 0.75 \cdot N(R)2$.

$M_{T,Ed}$: Momento torsor solicitante de cálculo pésimo.	$M_{T,Ed}$: <u>1.22</u> kN·m
--	-------------------------------

El momento torsor resistente de cálculo $M_{T,Rd}$ viene dado por:

$$M_{T,Rd} = \frac{1}{\sqrt{3}} \cdot W_T \cdot f_{yd} \quad M_{T,Rd} : \mathbf{4.44} \text{ kN} \cdot \text{m}$$

Donde:

W_T : Módulo de resistencia a torsión.	W_T : <u>29.37</u> cm
f_{yd} : Resistencia de cálculo del acero.	f_{yd} : <u>261.90</u> MPa

$$f_{yd} = f_y / \gamma_{M0}$$

Siendo:

f_y : Límite elástico. (CTE DB SE-A, Tabla 4.1) f_y : 275.00 MPa

γ_{M0} : Coeficiente parcial de seguridad del material. γ_{M0} : 1.05

Resistencia a cortante Z y momento torsor combinados (CTE DB SE-A, Artículo 6.2.8)

Se debe satisfacer:

$$\eta = \frac{V_{Ed}}{V_{pl,T,Rd}} \leq 1$$

η : 0.025 ✓

Los esfuerzos solicitantes de cálculo pésimos se producen en el nudo N156, para la combinación de acciones 1.35·PP+1.5·Q+0.9·V(270°)H2+0.75·N(R)2.

V_{Ed} : Esfuerzo cortante solicitante de cálculo pésimo. V_{Ed} : 10.66 kN

$M_{T,Ed}$: Momento torsor solicitante de cálculo pésimo. $M_{T,Ed}$: 0.04 kN·m

El esfuerzo cortante resistente de cálculo reducido $V_{pl,T,Rd}$ viene dado por:

$$V_{pl,T,Rd} = \sqrt{1 - \frac{\tau_{T,Ed}}{1.25 \cdot f_{yd} / \sqrt{3}}} \cdot V_{pl,Rd}$$

$V_{pl,T,Rd}$: 433.95 kN

Donde:

$V_{pl,Rd}$: Esfuerzo cortante resistente de cálculo. $V_{pl,Rd}$: 435.49 kN

$\tau_{T,Ed}$: Tensiones tangenciales por torsión. $\tau_{T,Ed}$: 1.33 MPa

$$\tau_{T,Ed} = \frac{M_{T,Ed}}{W_t}$$

Siendo:

W_T : Módulo de resistencia a torsión. W_T : 29.37 cm

f_{yd} : Resistencia de cálculo del acero. f_{yd} : 261.90 MPa

$$f_{yd} = f_y / \gamma_{M0}$$

Siendo:

f_y : Límite elástico. (CTE DB SE-A, Tabla 4.1) f_y : 275.00 MPa

γ_{M0} : Coeficiente parcial de seguridad del material. γ_{M0} : 1.05

Resistencia a cortante Y y momento torsor combinados (CTE DB SE-A, Artículo 6.2.8)

Se debe satisfacer:

$$\eta = \frac{V_{Ed}}{V_{pl,T,Rd}} \leq 1$$

η : 0.001 ✓

Los esfuerzos solicitantes de cálculo pésimos se producen en un punto situado a una distancia de 0.183 m del nudo N2, para la combinación de acciones $1.35 \cdot PP + 1.5 \cdot Q + 0.9 \cdot V(270^\circ)H2 + 0.75 \cdot N(R)2$.

V_{Ed}: Esfuerzo cortante solicitante de cálculo pésimo. **V_{Ed}** : 0.05 kN

M_{T,Ed}: Momento torsor solicitante de cálculo pésimo. **M_{T,Ed}** : 0.04 kN·m

El esfuerzo cortante resistente de cálculo reducido **V_{pl,T,Rd}** viene dado por:

$$V_{pl,T,Rd} = \sqrt{1 - \frac{\tau_{T,Ed}}{1.25 \cdot f_{yd} / \sqrt{3}}} \cdot V_{pl,Rd}$$

V_{pl,T,Rd} : 692.09 kN

Donde:

V_{pl,Rd}: Esfuerzo cortante resistente de cálculo. **V_{pl,Rd}** : 694.54 kN

τ_{T,Ed}: Tensiones tangenciales por torsión. **τ_{T,Ed}** : 1.33 MPa

$$\tau_{T,Ed} = \frac{M_{T,Ed}}{W_t}$$

Siendo:

W_T: Módulo de resistencia a torsión. **W_T** : 29.37 cm

f_{yd}: Resistencia de cálculo del acero. **f_{yd}** : 261.90 MPa

$$f_{yd} = f_y / \gamma_{M0}$$

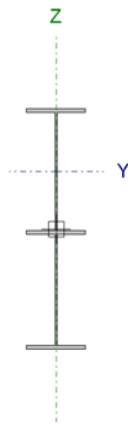
Siendo:

f_y: Límite elástico. (CTE DB SE-A, Tabla 4.1) **f_y** : 275.00 MPa

γ_{M0}: Coeficiente parcial de seguridad del material. **γ_{M0}** : 1.05

1.4 Jácena exterior pórtico interior

Perfil: IPE 360, Simple con cartelas (Cartela inicial inferior: 3.16 m. Cartela final inferior: 3.16 m.) Material: Acero (S275)									
Nudos	Longitud		Características mecánicas ⁽¹⁾						
	Inicia l	Final	d (m)	Área (cm ²)	I _y ⁽²⁾ (cm ⁴)	I _z ⁽²⁾ (cm ⁴)	I _t ⁽³⁾ (cm ⁴)	y _a ⁽⁴⁾ (mm)	z _a ⁽⁴⁾ (mm)
N18	N17	9	6.329	119.51	70119.65	1564.30	54.29	0.00	163.98
Notas: ⁽¹⁾ Las características mecánicas y el dibujo mostrados corresponden a la sección inicial del perfil (N18) ⁽²⁾ Inercia respecto al eje indicado ⁽³⁾ Momento de inercia a torsión uniforme ⁽⁴⁾ Coordenadas del centro de gravedad									
		Pandeo			Pandeo lateral				
		Plano XY		Plano XZ		Ala sup.		Ala inf.	
β		0.00		1.00		0.00		0.00	
L _K		0.000		6.329		0.000		0.000	
C _m		1.000		1.000		1.000		1.000	
C ₁		-		-		1.000		-	
Notación: β: Coeficiente de pandeo L _K : Longitud de pandeo (m) C _m : Coeficiente de momentos C ₁ : Factor de modificación para el momento crítico									



Barra	COMPROBACIONES (CTE DB SE-A)														Estado	
	$\bar{\lambda}$	λ_w	N _t	N _c	M _y	M _z	V _z	V _y	M _y V _z	M _z V _y	NM _y M _z	NM _y M _z V _y V _z	M _t	M _y V _z		M _z V _y
N18/N179	x: 3.301 m $\bar{\lambda} < 2.0$ Cumple	x: 1.158 m $\lambda_w \leq \lambda_{w,m\acute{a}x}$ Cumple	x: 6.329 m $\eta = 2.0$	x: 3.301 m $\eta = 4.5$	x: 0.183 m $\eta = 46.0$	x: 0.183 m $\eta < 0.1$	x: 3.303 m $\eta = 11.2$	x: 3.301 m $\eta < 0.1$	$\eta < 0.1$	x: 0.183 m $\eta < 0.1$	x: 0.183 m $\eta = 42.1$	$\eta < 0.1$	x: 3.303 m $\eta = 0.2$	x: 3.303 m $\eta = 9.7$	x: 3.301 m $\eta < 0.1$	CUMPLE $\eta = 46.0$
Notación: $\bar{\lambda}$: Limitación de esbeltez λ_w : Abolladura del alma inducida por el ala comprimida N _t : Resistencia a tracción N _c : Resistencia a compresión M _y : Resistencia a flexión eje Y M _z : Resistencia a flexión eje Z V _y : Resistencia a corte Y V _z : Resistencia a corte Z M _y V _z : Resistencia a momento flector Y y fuerza cortante Z combinados M _z V _y : Resistencia a momento flector Z y fuerza cortante Y combinados NM _y M _z : Resistencia a flexión y axil combinados NM _y M _z V _y V _z : Resistencia a flexión, axil y cortante combinados M _t : Resistencia a torsión M _y V _z : Resistencia a cortante Z y momento torsor combinados M _z V _y : Resistencia a cortante Y y momento torsor combinados x: Distancia al origen de la barra η: Coeficiente de aprovechamiento (%)																

Limitación de esbeltez (CTE DB SE-A, Artículos 6.3.1 y 6.3.2.1 - Tabla 6.3)

La esbeltez reducida $\bar{\lambda}$ de las barras comprimidas debe ser inferior al valor 2.0.

$$\bar{\lambda} = \sqrt{\frac{A_{ef} \cdot f_y}{N_{cr}}}$$

$\bar{\lambda}$: **0.48** ✓

Donde:

Clase: Clase de la sección, según la capacidad de deformación y de desarrollo de la resistencia plástica de los elementos planos comprimidos de una sección. **Clase:** 4

A_{ef}: Área de la sección eficaz para las secciones de clase 4. **A_{ef}:** 70.26 cm

f_y: Límite elástico. (CTE DB SE-A, Tabla 4.1) **f_y:** 275.00 MPa

N_{cr}: Axil crítico de pandeo elástico. **N_{cr}:** 8417.22 kN

El axil crítico de pandeo elástico N_{cr} es el menor de los valores obtenidos en a), b) y c):

a) Axil crítico elástico de pandeo por flexión respecto al eje Y.

$$N_{cr,y} : \underline{8417.22} \text{ kN}$$

$$N_{cr,y} = \frac{\pi^2 \cdot E \cdot I_y}{L_{ky}^2}$$

b) Axil crítico elástico de pandeo por flexión respecto al eje Z.

$$N_{cr,z} : \underline{\infty}$$

$$N_{cr,z} = \frac{\pi^2 \cdot E \cdot I_z}{L_{kz}^2}$$

c) Axil crítico elástico de pandeo por torsión.

$$N_{cr,T} : \underline{\infty}$$

$$N_{cr,T} = \frac{1}{i_0^2} \cdot \left[G \cdot I_t + \frac{\pi^2 \cdot E \cdot I_w}{L_{kt}^2} \right]$$

Donde:

I_y : Momento de inercia de la sección bruta, respecto al eje Y.

$$I_y : \underline{16270.00} \text{ cm}^4$$

I_z : Momento de inercia de la sección bruta, respecto al eje Z.

$$I_z : \underline{1043.00} \text{ cm}^4$$

I_t : Momento de inercia a torsión uniforme.

$$I_t : \underline{37.30} \text{ cm}^4$$

I_w : Constante de alabeo de la sección.

$$I_w : \underline{314000.00} \text{ cm}^6$$

E : Módulo de elasticidad.

$$E : \underline{210000} \text{ MPa}$$

G : Módulo de elasticidad transversal.

$$G : \underline{81000} \text{ MPa}$$

L_{ky} : Longitud efectiva de pandeo por flexión, respecto al eje Y.

$$L_{ky} : \underline{6.329} \text{ m}$$

L_{kz} : Longitud efectiva de pandeo por flexión, respecto al eje Z.

$$L_{kz} : \underline{0.000} \text{ m}$$

L_{kt} : Longitud efectiva de pandeo por torsión.

$$L_{kt} : \underline{0.000} \text{ m}$$

i_0 : Radio de giro polar de la sección bruta, respecto al centro de torsión.

$$i_0 : \underline{15.43} \text{ cm}$$

$$i_0 = (i_y^2 + i_z^2 + y_0^2 + z_0^2)^{0.5}$$

Siendo:

i_y, i_z : Radios de giro de la sección bruta, respecto a los ejes principales de inercia Y y Z.

$$i_y : \underline{14.96} \text{ cm}$$

$$i_z : \underline{3.79} \text{ cm}$$

y_0, z_0 : Coordenadas del centro de torsión en la dirección de los ejes principales Y y Z, respectivamente, relativas al centro de gravedad de la sección.

$$y_0 : \underline{0.00} \text{ mm}$$

$$z_0 : \underline{0.00} \text{ mm}$$

Abolladura del alma inducida por el ala comprimida (Criterio de CYPE Ingenieros, basado en: Eurocódigo 3 EN 1993-1-5: 2006, Artículo 8)

Se debe satisfacer:

$$\frac{h_w}{t_w} \leq k \frac{E}{f_{yf}} \sqrt{\frac{A_w}{A_{fc,ef}}}$$

$$72.17 \leq 335.08 \checkmark$$

Donde:

h_w : Altura del alma.	h_w : <u>577.35</u> mm
t_w : Espesor del alma.	t_w : <u>8.00</u> mm
A_w : Área del alma.	A_w : <u>46.19</u> cm
A_{fc,ef} : Área reducida del ala comprimida.	A_{fc,ef} : <u>21.59</u> cm
k : Coeficiente que depende de la clase de la sección.	k : <u>0.30</u>
E : Módulo de elasticidad.	E : <u>210000</u> MPa
f_{vf} : Límite elástico del acero del ala comprimida.	f_{vf} : <u>275.00</u> MPa
Siendo:	
$f_{yf} = f_y$	

Resistencia a tracción (CTE DB SE-A, Artículo 6.2.3)

Se debe satisfacer:

$$\eta = \frac{N_{t,Ed}}{N_{t,Rd}} \leq 1 \qquad \eta : \underline{0.020} \checkmark$$

El esfuerzo solicitante de cálculo pésimo se produce en el nudo N179, para la combinación de acciones 0.8·PP+1.5·V(180°)H3.

N_{t,Ed}: Axil de tracción solicitante de cálculo pésimo. **N_{t,Ed}** : 37.38 kN

La resistencia de cálculo a tracción **N_{t,Rd}** viene dada por:

$$N_{t,Rd} = A \cdot f_{yd} \qquad N_{t,Rd} : \underline{1904.05} \text{ kN}$$

Donde:

A: Área bruta de la sección transversal de la barra. **A** : 72.70 cm

f_{vd}: Resistencia de cálculo del acero. **f_{vd}** : 261.90 MPa

$$f_{yd} = f_y / \gamma_{M0}$$

Siendo:

f_y: Límite elástico. (CTE DB SE-A, Tabla 4.1) **f_y** : 275.00 MPa

γ_{M0}: Coeficiente parcial de seguridad del material. **γ_{M0}** : 1.05

Resistencia a compresión (CTE DB SE-A, Artículo 6.2.5)

Se debe satisfacer:

$$\eta = \frac{N_{c,Ed}}{N_{c,Rd}} \leq 1 \qquad \eta : \underline{0.042} \checkmark$$

$$\eta = \frac{N_{c,Ed}}{N_{b,Rd}} \leq 1 \qquad \eta : \underline{0.045} \checkmark$$

El esfuerzo solicitante de cálculo pésimo se produce en un punto situado a una distancia de 3.301 m del nudo N18, para la combinación de acciones 1.35·PP+1.5·Q+0.9·V(0°)H4+0.75·N(EI).

$$N_{c,Ed}: \text{Axil de compresión solicitante de cálculo pésimo.} \quad N_{c,Ed} : \underline{76.90} \text{ kN}$$

La resistencia de cálculo a compresión $N_{c,Rd}$ viene dada por:

$$N_{c,Rd} = A_{ef} \cdot f_{yd} \quad N_{c,Rd} : \underline{1840.02} \text{ kN}$$

Donde:

Clase: Clase de la sección, según la capacidad de deformación y de desarrollo de la resistencia plástica de los elementos planos comprimidos de una sección.

$$\text{Clase} : \underline{4}$$

A_{ef}: Área de la sección eficaz para las secciones de clase 4.

$$A_{ef} : \underline{70.26} \text{ cm}$$

f_{yd}: Resistencia de cálculo del acero.

$$f_{yd} : \underline{261.90} \text{ MPa}$$

$$f_{yd} = f_y / \gamma_{M0}$$

Siendo:

f_y: Límite elástico. (CTE DB SE-A, Tabla 4.1)

$$f_y : \underline{275.00} \text{ MPa}$$

γ_{M0}: Coeficiente parcial de seguridad del material.

$$\gamma_{M0} : \underline{1.05}$$

Resistencia a pandeo: (CTE DB SE-A, Artículo 6.3.2)

La resistencia de cálculo a pandeo $N_{b,Rd}$ en una barra comprimida viene dada por:

$$N_{b,Rd} = \chi \cdot A_{ef} \cdot f_{yd} \quad N_{b,Rd} : \underline{1712.39} \text{ kN}$$

Donde:

A_{ef}: Área de la sección eficaz para las secciones de clase 4.

$$A_{ef} : \underline{70.26} \text{ cm}$$

f_{yd}: Resistencia de cálculo del acero.

$$f_{yd} : \underline{261.90} \text{ MPa}$$

$$f_{yd} = f_y / \gamma_{M1}$$

Siendo:

f_y: Límite elástico. (CTE DB SE-A, Tabla 4.1)

$$f_y : \underline{275.00} \text{ MPa}$$

γ_{M1}: Coeficiente parcial de seguridad del material.

$$\gamma_{M1} : \underline{1.05}$$

χ: Coeficiente de reducción por pandeo.

$$\chi = \frac{1}{\Phi + \sqrt{\Phi^2 - (\bar{\lambda})^2}} \leq 1$$

$$\chi_y : \underline{0.93}$$

Siendo:

$$\Phi = 0.5 \cdot \left[1 + \alpha \cdot (\bar{\lambda} - 0.2) + (\bar{\lambda})^2 \right]$$

$$\phi_y : \underline{0.64}$$

α: Coeficiente de imperfección elástica.

$$\alpha_y : \underline{0.21}$$

λ̄: Esbeltez reducida.

$$\bar{\lambda} = \sqrt{\frac{A_{ef} \cdot f_y}{N_{cr}}}$$

$$\bar{\lambda}_y : \underline{0.48}$$

N_{cr} : Axil crítico elástico de pandeo, obtenido como el menor de los siguientes valores:	N_{cr} : <u>8417.22</u> kN
$N_{cr,y}$: Axil crítico elástico de pandeo por flexión respecto al eje Y.	$N_{cr,y}$: <u>8417.22</u> kN
$N_{cr,z}$: Axil crítico elástico de pandeo por flexión respecto al eje Z.	$N_{cr,z}$: <u>∞</u>
$N_{cr,T}$: Axil crítico elástico de pandeo por torsión.	$N_{cr,T}$: <u>∞</u>

Resistencia a flexión eje Y (CTE DB SE-A, Artículo 6.2.6)

Se debe satisfacer:

$$\eta = \frac{M_{Ed}}{M_{c,Rd}} \leq 1$$

$$\eta : \underline{0.460} \quad \checkmark$$

Para flexión positiva:

El esfuerzo solicitante de cálculo pésimo se produce en un punto situado a una distancia de 0.183 m del nudo N18, para la combinación de acciones 0.8·PP+1.5·V(0°)H1.

M_{Ed}^+ : Momento flector solicitante de cálculo pésimo.

$$M_{Ed}^+ : \underline{89.62} \text{ kN}\cdot\text{m}$$

Para flexión negativa:

El esfuerzo solicitante de cálculo pésimo se produce en un punto situado a una distancia de 0.183 m del nudo N18, para la combinación de acciones 1.35·PP+1.5·Q+0.75·N(EI).

M_{Ed}^- : Momento flector solicitante de cálculo pésimo.

$$M_{Ed}^- : \underline{251.15} \text{ kN}\cdot\text{m}$$

El momento flector resistente de cálculo $M_{c,Rd}$ viene dado por:

$$M_{c,Rd}^+ = W_{el,y}^+ \cdot f_{yd}$$

$$M_{c,Rd}^+ : \underline{546.52} \text{ kN}\cdot\text{m}$$

$$M_{c,Rd}^- = W_{ef,y}^- \cdot f_{yd}$$

$$M_{c,Rd}^- : \underline{546.52} \text{ kN}\cdot\text{m}$$

Donde:

Clase: Clase de la sección, según la capacidad de deformación y de desarrollo de la resistencia plástica de los elementos planos de una sección a flexión simple.

$$\text{Clase}^+ : \underline{3}$$

$W_{el,y}^+$: Módulo resistente elástico correspondiente a la fibra con mayor tensión, para las secciones de clase 3.

$$\text{Clase}^- : \underline{4}$$

$$W_{el,y}^+ : \underline{2086.69} \text{ cm}$$

$W_{ef,y}^-$: Módulo resistente elástico de la sección eficaz correspondiente a la fibra con mayor tensión, para las secciones de clase 4.

$$W_{ef,y}^- : \underline{2086.69} \text{ cm}$$

f_{yd} : Resistencia de cálculo del acero.

$$f_{yd} : \underline{261.90} \text{ MPa}$$

$$f_{yd} = f_y / \gamma_{M0}$$

Siendo:

f_y : Límite elástico. (CTE DB SE-A, Tabla 4.1)

$$f_y : \underline{275.00} \text{ MPa}$$

γ_{M0} : Coeficiente parcial de seguridad del material.

$$\gamma_{M0} : \underline{1.05}$$

Resistencia a pandeo lateral: (CTE DB SE-A, Artículo 6.3.3.2)

No procede, dado que las longitudes de pandeo lateral son nulas.

Resistencia a flexión eje Z (CTE DB SE-A, Artículo 6.2.6)

Se debe satisfacer:

$$\eta = \frac{M_{Ed}}{M_{c,Rd}} \leq 1$$

$$\eta < \underline{0.001} \quad \checkmark$$

Para flexión positiva:

El esfuerzo solicitante de cálculo pésimo se produce en un punto situado a una distancia de 0.183 m del nudo N18, para la combinación de acciones 0.8·PP+1.5·V(180°)H1.

M_{Ed}^+ : Momento flector solicitante de cálculo pésimo.

$$M_{Ed}^+ : \underline{0.02} \text{ kN}\cdot\text{m}$$

Para flexión negativa:

El esfuerzo solicitante de cálculo pésimo se produce en un punto situado a una distancia de 0.183 m del nudo N18, para la combinación de acciones 1.35·PP+1.05·Q+1.5·V(90°)H2+0.75·N(EI).

M_{Ed}^- : Momento flector solicitante de cálculo pésimo.

$$M_{Ed}^- : \underline{0.03} \text{ kN}\cdot\text{m}$$

El momento flector resistente de cálculo $M_{c,Rd}$ viene dado por:

$$M_{c,Rd} = W_{pl,z} \cdot f_{yd}$$

$$M_{c,Rd} : \underline{72.30} \text{ kN}\cdot\text{m}$$

Donde:

Clase: Clase de la sección, según la capacidad de deformación y de desarrollo de la resistencia plástica de los elementos planos de una sección a flexión simple.

$$\text{Clase} : \underline{1}$$

$W_{pl,z}$: Módulo resistente plástico correspondiente a la fibra con mayor tensión, para las secciones de clase 1 y 2.

$$W_{pl,z} : \underline{276.07} \text{ cm}$$

f_{yd} : Resistencia de cálculo del acero.

$$f_{yd} : \underline{261.90} \text{ MPa}$$

$$f_{yd} = f_y / \gamma_{M0}$$

Siendo:

f_y : Límite elástico. (CTE DB SE-A, Tabla 4.1)

$$f_y : \underline{275.00} \text{ MPa}$$

γ_{M0} : Coeficiente parcial de seguridad del material.

$$\gamma_{M0} : \underline{1.05}$$

Resistencia a corte Z (CTE DB SE-A, Artículo 6.2.4)

Se debe satisfacer:

$$\eta = \frac{V_{Ed}}{V_{c,Rd}} \leq 1$$

$$\eta : \underline{0.112} \quad \checkmark$$

El esfuerzo solicitante de cálculo pésimo se produce en un punto situado a una distancia de 3.303 m del nudo N18, para la combinación de acciones 1.35·PP+1.5·Q+0.9·V(0°)H4+0.75·N(EI).

V_{Ed} : Esfuerzo cortante solicitante de cálculo pésimo. $V_{Ed} : 48.80$ kN

El esfuerzo cortante resistente de cálculo $V_{c,Rd}$ viene dado por:

$$V_{c,Rd} = A_v \cdot \frac{f_{yd}}{\sqrt{3}} \quad V_{c,Rd} : 435.49 \text{ kN}$$

Donde:

A_v : Área transversal a cortante. $A_v : 28.80$ cm

$$A_v = h \cdot t_w$$

Siendo:

h : Canto de la sección. $h : 360.00$ mm

t_w : Espesor del alma. $t_w : 8.00$ mm

f_{yd} : Resistencia de cálculo del acero. $f_{yd} : 261.90$ MPa

$$f_{yd} = f_y / \gamma_{M0}$$

Siendo:

f_y : Límite elástico. (CTE DB SE-A, Tabla 4.1) $f_y : 275.00$ MPa

γ_{M0} : Coeficiente parcial de seguridad del material. $\gamma_{M0} : 1.05$

Abolladura por cortante del alma: (CTE DB SE-A, Artículo 6.3.3.4)

Aunque no se han dispuesto rigidizadores transversales, no es necesario comprobar la resistencia a la abolladura del alma, puesto que se cumple:

$$\frac{d}{t_w} < 70 \cdot \varepsilon \quad 41.83 < 64.71 \quad \checkmark$$

Donde:

λ_w : Esbeltez del alma. $\lambda_w : 41.83$

$$\lambda_w = \frac{d}{t_w}$$

$\lambda_{m\acute{a}x}$: Esbeltez máxima. $\lambda_{m\acute{a}x} : 64.71$

$$\lambda_{m\acute{a}x} = 70 \cdot \varepsilon$$

ε : Factor de reducción. $\varepsilon : 0.92$

$$\varepsilon = \sqrt{\frac{f_{ref}}{f_y}}$$

Siendo:

f_{ref} : Límite elástico de referencia. $f_{ref} : 235.00$ MPa

f_y : Límite elástico. (CTE DB SE-A, Tabla 4.1) $f_y : 275.00$ MPa

Resistencia a corte Y (CTE DB SE-A, Artículo 6.2.4)

Se debe satisfacer:

$$\eta = \frac{V_{Ed}}{V_{c,Rd}} \leq 1 \quad \eta < 0.001 \quad \checkmark$$

El esfuerzo solicitante de cálculo pésimo se produce en un punto situado a una distancia de 3.301 m del nudo N18, para la combinación de acciones $1.35 \cdot PP + 1.05 \cdot Q + 1.5 \cdot V(90^\circ)H2$.

V_{Ed} : Esfuerzo cortante solicitante de cálculo pésimo. V_{Ed} : 0.00 kN

El esfuerzo cortante resistente de cálculo $V_{c,Rd}$ viene dado por:

$$V_{c,Rd} = A_v \cdot \frac{f_{yd}}{\sqrt{3}} \quad V_{c,Rd} : \underline{694.54} \text{ kN}$$

Donde:

A_v : Área transversal a cortante. A_v : 45.93 cm

$$A_v = A - d \cdot t_w$$

Siendo:

A : Área de la sección bruta. A : 72.70 cm

d : Altura del alma. d : 334.60 mm

t_w : Espesor del alma. t_w : 8.00 mm

f_{yd} : Resistencia de cálculo del acero. f_{yd} : 261.90 MPa

$$f_{yd} = f_y / \gamma_{M0}$$

Siendo:

f_y : Límite elástico. (CTE DB SE-A, Tabla 4.1) f_y : 275.00 MPa

γ_{M0} : Coeficiente parcial de seguridad del material. γ_{M0} : 1.05

Resistencia a momento flector Y y fuerza cortante Z combinados (CTE DB SE-A, Artículo 6.2.8)

No es necesario reducir la resistencia de cálculo a flexión, ya que el esfuerzo cortante solicitante de cálculo pésimo V_{Ed} no es superior al 50% de la resistencia de cálculo a cortante $V_{c,Rd}$.

$$V_{Ed} \leq \frac{V_{c,Rd}}{2} \quad 70.60 \text{ kN} \leq 426.98 \text{ kN} \quad \checkmark$$

Los esfuerzos solicitantes de cálculo pésimos se producen para la combinación de acciones $1.35 \cdot PP + 1.5 \cdot Q + 0.9 \cdot V(0^\circ)H4 + 0.75 \cdot N(EI)$.

V_{Ed} : Esfuerzo cortante solicitante de cálculo pésimo. V_{Ed} : 70.60 kN

$V_{c,Rd}$: Esfuerzo cortante resistente de cálculo. $V_{c,Rd}$: 853.96 kN

Resistencia a momento flector Z y fuerza cortante Y combinados (CTE DB SE-A, Artículo 6.2.8)

No es necesario reducir la resistencia de cálculo a flexión, ya que el esfuerzo cortante solicitante de cálculo pésimo V_{Ed} no es superior al 50% de la resistencia de cálculo a cortante $V_{c,Rd}$.

$$V_{Ed} \leq \frac{V_{c,Rd}}{2}$$

$$0.00 \text{ kN} \leq 510.50 \text{ kN} \quad \checkmark$$

Los esfuerzos solicitantes de cálculo pésimos se producen en un punto situado a una distancia de 0.183 m del nudo N18, para la combinación de acciones 1.35·PP+1.05·Q+1.5·V(90°)H2.

V_{Ed} : Esfuerzo cortante solicitante de cálculo pésimo.

$$V_{Ed} : \underline{0.00} \text{ kN}$$

$V_{c,Rd}$: Esfuerzo cortante resistente de cálculo.

$$V_{c,Rd} : \underline{1021.01} \text{ kN}$$

Resistencia a flexión y axil combinados (CTE DB SE-A, Artículo 6.2.8)

Se debe satisfacer:

$$\eta = \frac{N_{c,Ed}}{N_{pl,Rd}} + \frac{M_{y,Ed}}{M_{pl,Rd,y}} + \frac{M_{z,Ed}}{M_{pl,Rd,z}} \leq 1$$

$$\eta : \underline{0.420} \quad \checkmark$$

$$\eta = \frac{N_{c,Ed}}{\chi_y \cdot A \cdot f_{yd}} + k_y \cdot \frac{C_{m,y} \cdot M_{y,Ed}}{\chi_{LT} \cdot W_{pl,y} \cdot f_{yd}} + \alpha_z \cdot k_z \cdot \frac{C_{m,z} \cdot M_{z,Ed}}{W_{pl,z} \cdot f_{yd}} \leq 1$$

$$\eta : \underline{0.421} \quad \checkmark$$

$$\eta = \frac{N_{c,Ed}}{\chi_z \cdot A \cdot f_{yd}} + \alpha_y \cdot k_y \cdot \frac{C_{m,y} \cdot M_{y,Ed}}{W_{pl,y} \cdot f_{yd}} + k_z \cdot \frac{C_{m,z} \cdot M_{z,Ed}}{W_{pl,z} \cdot f_{yd}} \leq 1$$

$$\eta : \underline{0.263} \quad \checkmark$$

Los esfuerzos solicitantes de cálculo pésimos se producen en un punto situado a una distancia de 0.183 m del nudo N18, para la combinación de acciones 1.35·PP+1.5·Q+0.75·N(EI).

Donde:

$N_{c,Ed}$: Axil de compresión solicitante de cálculo pésimo.

$$N_{c,Ed} : \underline{78.82} \text{ kN}$$

$M_{y,Ed}$, $M_{z,Ed}$: Momentos flectores solicitantes de cálculo pésimos, según los ejes Y y Z, respectivamente.

$$M_{y,Ed} : \underline{251.15} \text{ kN}\cdot\text{m}$$

$$M_{z,Ed} : \underline{0.02} \text{ kN}\cdot\text{m}$$

Clase: Clase de la sección, según la capacidad de deformación y de desarrollo de la resistencia plástica de sus elementos planos, para axil y flexión simple.

$$\text{Clase} : \underline{1}$$

$N_{pl,Rd}$: Resistencia a compresión de la sección bruta.

$$N_{pl,Rd} : \underline{3167.71} \text{ kN}$$

$M_{pl,Rd,y}$, $M_{pl,Rd,z}$: Resistencia a flexión de la sección bruta en condiciones plásticas, respecto a los ejes Y y Z, respectivamente.

$$M_{pl,Rd,y} : \underline{636.30} \text{ kN}\cdot\text{m}$$

$$M_{pl,Rd,z} : \underline{72.30} \text{ kN}\cdot\text{m}$$

Resistencia a pandeo: (CTE DB SE-A, Artículo 6.3.4.2)

A : Área de la sección bruta.

$$A : \underline{120.95} \text{ cm}^2$$

$W_{pl,y}$, $W_{pl,z}$: Módulos resistentes plásticos correspondientes a la fibra comprimida, alrededor de los ejes Y y Z, respectivamente.

$$W_{pl,y} : \underline{2429.50} \text{ cm}^3$$

$$W_{pl,z} : \underline{276.07} \text{ cm}^3$$

f_{vd} : Resistencia de cálculo del acero.	f_{vd} : <u>261.90</u> MPa
$f_{vd} = f_y / \gamma_{M1}$	
Siendo:	
f_y : Límite elástico. (CTE DB SE-A, Tabla 4.1)	f_y : <u>275.00</u> MPa
γ_{M1} : Coeficiente parcial de seguridad del material.	γ_{M1} : <u>1.05</u>
k_y, k_z : Coeficientes de interacción.	
$k_y = 1 + (\bar{\lambda}_y - 0.2) \cdot \frac{N_{c,Ed}}{\chi_y \cdot N_{c,Rd}}$	k_y : <u>1.00</u>
$k_z = 1 + (2 \cdot \bar{\lambda}_z - 0.6) \cdot \frac{N_{c,Ed}}{\chi_z \cdot N_{c,Rd}}$	k_z : <u>1.00</u>
C_{m,y}, C_{m,z} : Factores de momento flector uniforme equivalente.	C_{m,y} : <u>1.00</u>
	C_{m,z} : <u>1.00</u>
χ_y, χ_z : Coeficientes de reducción por pandeo, alrededor de los ejes Y y Z, respectivamente.	χ_y : <u>0.98</u>
	χ_z : <u>1.00</u>
λ̄_y, λ̄_z : Esbelteces reducidas con valores no mayores que 1.00, en relación a los ejes Y y Z, respectivamente.	λ̄_y : <u>0.29</u>
	λ̄_z : <u>0.00</u>
α_y, α_z : Factores dependientes de la clase de la sección.	α_y : <u>0.60</u>
	α_z : <u>0.60</u>

Resistencia a flexión, axil y cortante combinados (CTE DB SE-A, Artículo 6.2.8)

No es necesario reducir las resistencias de cálculo a flexión y a axil, ya que se puede ignorar el efecto de abolladura por esfuerzo cortante y, además, el esfuerzo cortante solicitante de cálculo pésimo **V_{Ed}** es menor o igual que el 50% del esfuerzo cortante resistente de cálculo **V_{c,Rd}**.

Los esfuerzos solicitantes de cálculo pésimos se producen para la combinación de acciones 1.35·PP+1.5·Q+0.9·V(0°)H4+0.75·N(EI).

$$V_{Ed,z} \leq \frac{V_{c,Rd,z}}{2}$$

$$70.60 \text{ kN} \leq 426.86 \text{ kN} \quad \checkmark$$

Donde:

V_{Ed,z}: Esfuerzo cortante solicitante de cálculo pésimo.

$$V_{Ed,z} : \frac{70.60}{\text{ kN}}$$

V_{c,Rd,z}: Esfuerzo cortante resistente de cálculo.

$$V_{c,Rd,z} : \frac{853.73}{\text{ kN}}$$

Resistencia a torsión (CTE DB SE-A, Artículo 6.2.7)

Se debe satisfacer:

$$\eta = \frac{M_{T,Ed}}{M_{T,Rd}} \leq 1$$

$$\eta : \underline{0.002} \quad \checkmark$$

El esfuerzo solicitante de cálculo pésimo se produce en un punto situado a una distancia de 3.303 m del nudo N18, para la combinación de acciones $1.35 \cdot PP + 1.05 \cdot Q + 1.5 \cdot V(90^\circ)H2 + 0.75 \cdot N(EI)$.

$M_{T,Ed}$: Momento torsor solicitante de cálculo pésimo. $M_{T,Ed} : \underline{0.01} \text{ kN}\cdot\text{m}$

El momento torsor resistente de cálculo $M_{T,Rd}$ viene dado por:

$$M_{T,Rd} = \frac{1}{\sqrt{3}} \cdot W_T \cdot f_{yd} \quad M_{T,Rd} : \underline{4.44} \text{ kN}\cdot\text{m}$$

Donde:

W_T : Módulo de resistencia a torsión. $W_T : \underline{29.37} \text{ cm}$
 f_{yd} : Resistencia de cálculo del acero. $f_{yd} : \underline{261.90} \text{ MPa}$

$$f_{yd} = f_y / \gamma_{M0}$$

Siendo:

f_y : Límite elástico. (CTE DB SE-A, Tabla 4.1) $f_y : \underline{275.00} \text{ MPa}$
 γ_{M0} : Coeficiente parcial de seguridad del material. $\gamma_{M0} : \underline{1.05}$

Resistencia a cortante Z y momento torsor combinados (CTE DB SE-A, Artículo 6.2.8)

Se debe satisfacer:

$$\eta = \frac{V_{Ed}}{V_{pl,T,Rd}} \leq 1 \quad \eta : \underline{0.097} \checkmark$$

Los esfuerzos solicitantes de cálculo pésimos se producen en un punto situado a una distancia de 3.303 m del nudo N18, para la combinación de acciones $1.35 \cdot PP + 1.5 \cdot Q + 0.9 \cdot V(270^\circ)H2 + 0.75 \cdot N(R)2$.

V_{Ed} : Esfuerzo cortante solicitante de cálculo pésimo. $V_{Ed} : \underline{42.35} \text{ kN}$

$M_{T,Ed}$: Momento torsor solicitante de cálculo pésimo. $M_{T,Ed} : \underline{0.00} \text{ kN}\cdot\text{m}$

El esfuerzo cortante resistente de cálculo reducido $V_{pl,T,Rd}$ viene dado por:

$$V_{pl,T,Rd} = \sqrt{1 - \frac{\tau_{T,Ed}}{1.25 \cdot f_{yd} / \sqrt{3}}} \cdot V_{pl,Rd} \quad V_{pl,T,Rd} : \underline{435.31} \text{ kN}$$

Donde:

$V_{pl,Rd}$: Esfuerzo cortante resistente de cálculo. $V_{pl,Rd} : \underline{435.49} \text{ kN}$
 $\tau_{T,Ed}$: Tensiones tangenciales por torsión. $\tau_{T,Ed} : \underline{0.16} \text{ MPa}$

$$\tau_{T,Ed} = \frac{M_{T,Ed}}{W_t}$$

Siendo:

W_T : Módulo de resistencia a torsión. $W_T : \underline{29.37} \text{ cm}$
 f_{yd} : Resistencia de cálculo del acero. $f_{yd} : \underline{261.90} \text{ MPa}$

$$f_{yd} = f_y / \gamma_{M0}$$

Siendo:

f_y : Límite elástico. (CTE DB SE-A, Tabla 4.1) f_y : 275.00 MPa

γ_{M0} : Coeficiente parcial de seguridad del material. γ_{M0} : 1.05

Resistencia a cortante Y y momento torsor combinados (CTE DB SE-A, Artículo 6.2.8)

Se debe satisfacer:

$$\eta = \frac{V_{Ed}}{V_{pl,T,Rd}} \leq 1$$

$\eta < \underline{0.001}$ ✓

Los esfuerzos solicitantes de cálculo pésimos se producen en un punto situado a una distancia de 3.301 m del nudo N18, para la combinación de acciones 1.35·PP+1.5·Q+0.9·V(270°)H2+0.75·N(R)2.

V_{Ed} : Esfuerzo cortante solicitante de cálculo pésimo.

V_{Ed} : 0.00 kN

$M_{T,Ed}$: Momento torsor solicitante de cálculo pésimo.

$M_{T,Ed}$: 0.00 kN·m

El esfuerzo cortante resistente de cálculo reducido $V_{pl,T,Rd}$ viene dado por:

$$V_{pl,T,Rd} = \sqrt{1 - \frac{\tau_{T,Ed}}{1.25 \cdot f_{yd} / \sqrt{3}}} \cdot V_{pl,Rd}$$

$V_{pl,T,Rd}$: 694.26 kN

Donde:

$V_{pl,Rd}$: Esfuerzo cortante resistente de cálculo.

$V_{pl,Rd}$: 694.54 kN

$\tau_{T,Ed}$: Tensiones tangenciales por torsión.

$\tau_{T,Ed}$: 0.15 MPa

$$\tau_{T,Ed} = \frac{M_{T,Ed}}{W_t}$$

Siendo:

W_T : Módulo de resistencia a torsión.

W_T : 29.37 cm

f_{yd} : Resistencia de cálculo del acero.

f_{yd} : 261.90 MPa

$$f_{yd} = f_y / \gamma_{M0}$$

Siendo:

f_y : Límite elástico. (CTE DB SE-A, Tabla 4.1) f_y : 275.00 MPa

γ_{M0} : Coeficiente parcial de seguridad del material. γ_{M0} : 1.05

1.5 Jácena interior pórtico de fachada

Perfil: IPE 360 Material: Acero (S275)						
Nudos	Longitud (m)		Características mecánicas			
	Inicial	Final	Área (cm ²)	I _y ⁽¹⁾ (cm ⁴)	I _z ⁽¹⁾ (cm ⁴)	I _t ⁽²⁾ (cm ⁴)
N4	N159	6.329	72.70	16270.00	1043.00	37.30
Notas: (1) Inercia respecto al eje indicado (2) Momento de inercia a torsión uniforme						
	Pandeo		Pandeo lateral			
	Plano XY	Plano XZ	Ala sup.	Ala inf.		
β	0.00	1.00	0.00	0.00		
L _K	0.000	6.329	0.000	0.000		
C _m	1.000	1.000	1.000	1.000		
C ₁	-		1.000			
Notación: β: Coeficiente de pandeo L _K : Longitud de pandeo (m) C _m : Coeficiente de momentos C ₁ : Factor de modificación para el momento crítico						

Barra	COMPROBACIONES (CTE DB SE-A)														Estado	
	$\bar{\lambda}$	λ_w	N _t	N _c	M _y	M _z	V _z	V _y	M _y V _z	M _z V _y	NM _y M _z	NM _y M _z V _y V _z	M _t	M _y V _z		M _z V _y
N4/N159	$\bar{\lambda} < 2.0$ Cumple	$\lambda_w < \lambda_{w,adm}$ Cumple	x: 6.329 m η = 6.0	x: 0.279 m η = 4.6	x: 0.279 m η = 10.4	x: 0.279 m η = 6.8	x: 6.329 m η = 2.9	x: 0.279 m η = 0.2	η < 0.1	η < 0.1	x: 0.279 m η = 20.8	η < 0.1	η = 27.5	x: 0.279 m η = 2.3	x: 0.279 m η < 0.1	CUMPLE η = 27.5
Notación: λ̄: Limitación de esbeltez λ _w : Abolladura del alma inducida por el ala comprimida N _t : Resistencia a tracción N _c : Resistencia a compresión M _y : Resistencia a flexión eje Y M _z : Resistencia a flexión eje Z V _z : Resistencia a corte Z V _y : Resistencia a corte Y M _y V _z : Resistencia a momento flector Y y fuerza cortante Z combinados M _z V _y : Resistencia a momento flector Z y fuerza cortante Y combinados NM _y M _z : Resistencia a flexión y axil combinados NM _y M _z V _y V _z : Resistencia a flexión, axil y cortante combinados M _t : Resistencia a torsión M _y V _z : Resistencia a cortante Z y momento torsor combinados M _z V _y : Resistencia a cortante Y y momento torsor combinados x: Distancia al origen de la barra η: Coeficiente de aprovechamiento (%)																

Limitación de esbeltez (CTE DB SE-A, Artículos 6.3.1 y 6.3.2.1 - Tabla 6.3)

La esbeltez reducida $\bar{\lambda}$ de las barras comprimidas debe ser inferior al valor 2.0.

$$\bar{\lambda} = \sqrt{\frac{A_{ef} \cdot f_y}{N_{cr}}}$$

$$\bar{\lambda} : \quad \mathbf{0.48} \quad \checkmark$$

Donde:

Clase: Clase de la sección, según la capacidad de deformación y de desarrollo de la resistencia plástica de los elementos planos comprimidos de una sección. **Clase :** 4

A_{ef}: Área de la sección eficaz para las secciones de clase 4. **A_{ef} :** 70.26 cm

f_y: Límite elástico. (CTE DB SE-A, Tabla 4.1) **f_y :** 275.00 MPa

N_{cr}: Axil crítico de pandeo elástico. **N_{cr} :** 8417.22 kN

El axil crítico de pandeo elástico **N_{cr}** es el menor de los valores obtenidos en a), b) y c):

a) Axil crítico elástico de pandeo por flexión respecto al eje Y.

$$\mathbf{N_{cr,v} : \quad 8417.22 \quad kN}$$

$$N_{cr,y} = \frac{\pi^2 \cdot E \cdot I_y}{L_{ky}^2}$$

b) Axil crítico elástico de pandeo por flexión respecto al eje Z.

$$N_{cr,z} = \frac{\pi^2 \cdot E \cdot I_z}{L_{kz}^2}$$

$$N_{cr,z} : \underline{\quad \infty \quad}$$

c) Axil crítico elástico de pandeo por torsión.

$$N_{cr,T} = \frac{1}{i_0^2} \cdot \left[G \cdot I_t + \frac{\pi^2 \cdot E \cdot I_w}{L_{kt}^2} \right]$$

$$N_{cr,T} : \underline{\quad \infty \quad}$$

Donde:

I_y: Momento de inercia de la sección bruta, respecto al eje Y.

$$I_y : \underline{16270.00} \text{ cm}^4$$

I_z: Momento de inercia de la sección bruta, respecto al eje Z.

$$I_z : \underline{1043.00} \text{ cm}^4$$

I_t: Momento de inercia a torsión uniforme.

$$I_t : \underline{37.30} \text{ cm}^4$$

I_w: Constante de alabeo de la sección.

$$I_w : \underline{314000.00} \text{ cm}^6$$

E: Módulo de elasticidad.

$$E : \underline{210000} \text{ MPa}$$

G: Módulo de elasticidad transversal.

$$G : \underline{81000} \text{ MPa}$$

L_{ky}: Longitud efectiva de pandeo por flexión, respecto al eje Y.

$$L_{ky} : \underline{6.329} \text{ m}$$

L_{kz}: Longitud efectiva de pandeo por flexión, respecto al eje Z.

$$L_{kz} : \underline{0.000} \text{ m}$$

L_{kt}: Longitud efectiva de pandeo por torsión.

$$L_{kt} : \underline{0.000} \text{ m}$$

i₀: Radio de giro polar de la sección bruta, respecto al centro de torsión.

$$i_0 : \underline{15.43} \text{ cm}$$

$$i_0 = (i_y^2 + i_z^2 + y_0^2 + z_0^2)^{0.5}$$

Siendo:

i_y, **i_z**: Radios de giro de la sección bruta, respecto a los ejes principales de inercia Y y Z.

$$i_y : \underline{14.96} \text{ cm}$$

$$i_z : \underline{3.79} \text{ cm}$$

y₀, **z₀**: Coordenadas del centro de torsión en la dirección de los ejes principales Y y Z, respectivamente, relativas al centro de gravedad de la sección.

$$y_0 : \underline{0.00} \text{ mm}$$

$$z_0 : \underline{0.00} \text{ mm}$$

Abolladura del alma inducida por el ala comprimida (Criterio de CYPE Ingenieros, basado en: Eurocódigo 3 EN 1993-1-5: 2006, Artículo 8)

Se debe satisfacer:

$$\frac{h_w}{t_w} \leq k \frac{E}{f_{yf}} \sqrt{\frac{A_w}{A_{fc,ef}}}$$

$$41.83 \leq 255.09 \checkmark$$

Donde:

h_w: Altura del alma.

$$h_w : \underline{334.60} \text{ mm}$$

t_w: Espesor del alma.

$$t_w : \underline{8.00} \text{ mm}$$

A_w: Área del alma.

$$A_w : \underline{26.77} \text{ cm}$$

A_{fc,ef}: Área reducida del ala comprimida.

$$A_{fc,ef} : \underline{21.59} \text{ cm}$$

k : Coeficiente que depende de la clase de la sección.	k : <u>0.30</u>
E : Módulo de elasticidad.	E : <u>210000</u> MPa
f_{vf} : Límite elástico del acero del ala comprimida.	f_{vf} : <u>275.00</u> MPa

Siendo:

$$f_{vf} = f_y$$

Resistencia a tracción (CTE DB SE-A, Artículo 6.2.3)

Se debe satisfacer:

$$\eta = \frac{N_{t,Ed}}{N_{t,Rd}} \leq 1 \qquad \eta : \underline{0.060} \quad \checkmark$$

El esfuerzo solicitante de cálculo pésimo se produce en el nudo N159, para la combinación de acciones 1.35·PP+1.5·Q+0.75·N(EI).

N_{t,Ed}: Axil de tracción solicitante de cálculo pésimo. **N_{t,Ed}** : 114.12 kN

La resistencia de cálculo a tracción **N_{t,Rd}** viene dada por:

$$N_{t,Rd} = A \cdot f_{yd} \qquad N_{t,Rd} : \underline{1904.05} \text{ kN}$$

Donde:

A: Área bruta de la sección transversal de la barra. **A** : 72.70 cm

f_{yd}: Resistencia de cálculo del acero. **f_{yd}** : 261.90 MPa

$$f_{yd} = f_y / \gamma_{M0}$$

Siendo:

f_y: Límite elástico. (CTE DB SE-A, Tabla 4.1) **f_y** : 275.00 MPa

γ_{M0}: Coeficiente parcial de seguridad del material. **γ_{M0}** : 1.05

Resistencia a compresión (CTE DB SE-A, Artículo 6.2.5)

Se debe satisfacer:

$$\eta = \frac{N_{c,Ed}}{N_{c,Rd}} \leq 1 \qquad \eta : \underline{0.042} \quad \checkmark$$

$$\eta = \frac{N_{c,Ed}}{N_{b,Rd}} \leq 1 \qquad \eta : \underline{0.046} \quad \checkmark$$

El esfuerzo solicitante de cálculo pésimo se produce en un punto situado a una distancia de 0.279 m del nudo N4, para la combinación de acciones 0.8·PP+1.5·V(180°)H3.

N_{c,Ed}: Axil de compresión solicitante de cálculo pésimo. **N_{c,Ed}** : 78.15 kN

La resistencia de cálculo a compresión $N_{c,Rd}$ viene dada por:

$$N_{c,Rd} = A_{ef} \cdot f_{yd} \quad N_{c,Rd} : \underline{1840.02} \text{ kN}$$

Donde:

Clase: Clase de la sección, según la capacidad de deformación y de desarrollo de la resistencia plástica de los elementos planos comprimidos de una sección.

$$\text{Clase} : \underline{4}$$

A_{ef}: Área de la sección eficaz para las secciones de clase 4.

$$A_{ef} : \underline{70.26} \text{ cm}$$

f_{yd}: Resistencia de cálculo del acero.

$$f_{yd} : \underline{261.90} \text{ MPa}$$

$$f_{yd} = f_y / \gamma_{M0}$$

Siendo:

f_y: Límite elástico. (CTE DB SE-A, Tabla 4.1)

$$f_y : \underline{275.00} \text{ MPa}$$

γ_{M0}: Coeficiente parcial de seguridad del material.

$$\gamma_{M0} : \underline{1.05}$$

Resistencia a pandeo: (CTE DB SE-A, Artículo 6.3.2)

La resistencia de cálculo a pandeo $N_{b,Rd}$ en una barra comprimida viene dada por:

$$N_{b,Rd} = \chi \cdot A_{ef} \cdot f_{yd} \quad N_{b,Rd} : \underline{1712.39} \text{ kN}$$

Donde:

A_{ef}: Área de la sección eficaz para las secciones de clase 4.

$$A_{ef} : \underline{70.26} \text{ cm}$$

f_{yd}: Resistencia de cálculo del acero.

$$f_{yd} : \underline{261.90} \text{ MPa}$$

$$f_{yd} = f_y / \gamma_{M1}$$

Siendo:

f_y: Límite elástico. (CTE DB SE-A, Tabla 4.1)

$$f_y : \underline{275.00} \text{ MPa}$$

γ_{M1}: Coeficiente parcial de seguridad del material.

$$\gamma_{M1} : \underline{1.05}$$

χ: Coeficiente de reducción por pandeo.

$$\chi = \frac{1}{\Phi + \sqrt{\Phi^2 - (\bar{\lambda})^2}} \leq 1$$

$$\chi_y : \underline{0.93}$$

Siendo:

$$\Phi = 0.5 \cdot \left[1 + \alpha \cdot (\bar{\lambda} - 0.2) + (\bar{\lambda})^2 \right]$$

$$\phi_y : \underline{0.64}$$

α: Coeficiente de imperfección elástica.

$$\alpha_y : \underline{0.21}$$

λ̄: Esbeltez reducida.

$$\bar{\lambda} = \sqrt{\frac{A_{ef} \cdot f_y}{N_{cr}}}$$

$$\bar{\lambda}_y : \underline{0.48}$$

N_{cr}: Axil crítico elástico de pandeo, obtenido como el menor de los siguientes valores:

$$N_{cr} : \underline{8417.22} \text{ kN}$$

N_{cr,y}: Axil crítico elástico de pandeo por flexión respecto al eje Y.

$$N_{cr,y} : \underline{8417.22} \text{ kN}$$

N_{cr,z}: Axil crítico elástico de pandeo por flexión respecto al eje Z.

$$N_{cr,z} : \underline{\infty}$$

$N_{cr,T}$: Axil crítico elástico de pandeo por torsión.

$N_{cr,T}$: ∞

Resistencia a flexión eje Y (CTE DB SE-A, Artículo 6.2.6)

Se debe satisfacer:

$$\eta = \frac{M_{Ed}}{M_{c,Rd}} \leq 1$$

η : 0.104 ✓

Para flexión positiva:

El esfuerzo solicitante de cálculo pésimo se produce en un punto situado a una distancia de 0.279 m del nudo N4, para la combinación de acciones 0.8·PP+1.5·V(180°)H3.

M_{Ed}^+ : Momento flector solicitante de cálculo pésimo.

M_{Ed}^+ : 27.72 kN·m

Para flexión negativa:

El esfuerzo solicitante de cálculo pésimo se produce en un punto situado a una distancia de 0.279 m del nudo N4, para la combinación de acciones 1.35·PP+1.05·Q+1.5·V(0°)H4+0.75·N(R)2.

M_{Ed}^- : Momento flector solicitante de cálculo pésimo.

M_{Ed}^- : 26.07 kN·m

El momento flector resistente de cálculo $M_{c,Rd}$ viene dado por:

$$M_{c,Rd} = W_{pl,y} \cdot f_{yd}$$

$M_{c,Rd}$: 266.88 kN·m

Donde:

Clase: Clase de la sección, según la capacidad de deformación y de desarrollo de la resistencia plástica de los elementos planos de una sección a flexión simple.

Clase: 1

$W_{pl,y}$: Módulo resistente plástico correspondiente a la fibra con mayor tensión, para las secciones de clase 1 y 2.

$W_{pl,y}$: 1019.00 cm

f_{yd} : Resistencia de cálculo del acero.

f_{yd} : 261.90 MPa

$$f_{yd} = f_y / \gamma_{M0}$$

Siendo:

f_y : Límite elástico. (CTE DB SE-A, Tabla 4.1)

f_y : 275.00 MPa

γ_{M0} : Coeficiente parcial de seguridad del material.

γ_{M0} : 1.05

Resistencia a pandeo lateral: (CTE DB SE-A, Artículo 6.3.3.2)

No procede, dado que las longitudes de pandeo lateral son nulas.

Resistencia a flexión eje Z (CTE DB SE-A, Artículo 6.2.6)

Se debe satisfacer:

$$\eta = \frac{M_{Ed}}{M_{c,Rd}} \leq 1$$

η : 0.068 ✓

Para flexión positiva:

El esfuerzo solicitante de cálculo pésimo se produce en un punto situado a una distancia de 0.279 m del nudo N4, para la combinación de acciones $1.35 \cdot PP + 1.05 \cdot Q + 1.5 \cdot V(90^\circ)H2 + 0.75 \cdot N(EI)$.

M_{Ed}^+ : Momento flector solicitante de cálculo pésimo.

$M_{Ed}^+ : \underline{3.38} \text{ kN}\cdot\text{m}$

Para flexión negativa:

El esfuerzo solicitante de cálculo pésimo se produce en un punto situado a una distancia de 0.279 m del nudo N4, para la combinación de acciones $0.8 \cdot PP + 1.5 \cdot V(180^\circ)H1$.

M_{Ed}^- : Momento flector solicitante de cálculo pésimo.

$M_{Ed}^- : \underline{3.15} \text{ kN}\cdot\text{m}$

El momento flector resistente de cálculo $M_{c,Rd}$ viene dado por:

$$M_{c,Rd} = W_{pl,z} \cdot f_{yd}$$

$M_{c,Rd} : \underline{50.02} \text{ kN}\cdot\text{m}$

Donde:

Clase: Clase de la sección, según la capacidad de deformación y de desarrollo de la resistencia plástica de los elementos planos de una sección a flexión simple.

Clase : 1

$W_{pl,z}$: Módulo resistente plástico correspondiente a la fibra con mayor tensión, para las secciones de clase 1 y 2.

$W_{pl,z} : \underline{191.00} \text{ cm}$

f_{yd} : Resistencia de cálculo del acero.

$f_{yd} : \underline{261.90} \text{ MPa}$

$$f_{yd} = f_y / \gamma_{M0}$$

Siendo:

f_y : Límite elástico. (CTE DB SE-A, Tabla 4.1)

$f_y : \underline{275.00} \text{ MPa}$

γ_{M0} : Coeficiente parcial de seguridad del material.

$\gamma_{M0} : \underline{1.05}$

Resistencia a corte Z (CTE DB SE-A, Artículo 6.2.4)

Se debe satisfacer:

$$\eta = \frac{V_{Ed}}{V_{c,Rd}} \leq 1$$

$\eta : \underline{0.029} \checkmark$

El esfuerzo solicitante de cálculo pésimo se produce en el nudo N159, para la combinación de acciones $1.35 \cdot PP + 1.5 \cdot Q + 0.9 \cdot V(180^\circ)H2 + 0.75 \cdot N(R)1$.

V_{Ed} : Esfuerzo cortante solicitante de cálculo pésimo.

$V_{Ed} : \underline{12.66} \text{ kN}$

El esfuerzo cortante resistente de cálculo $V_{c,Rd}$ viene dado por:

$$V_{c,Rd} = A_v \cdot \frac{f_{yd}}{\sqrt{3}}$$

$V_{c,Rd} : \underline{435.49} \text{ kN}$

Donde:

A_v : Área transversal a cortante.

$A_v : \underline{28.80} \text{ cm}$

$$A_v = h \cdot t_w$$

Siendo:

h: Canto de la sección. **h** : 360.00 mm
t_w: Espesor del alma. **t_w** : 8.00 mm

f_{vd}: Resistencia de cálculo del acero. **f_{vd}** : 261.90 MPa

$$f_{vd} = f_y / \gamma_{M0}$$

Siendo:

f_y: Límite elástico. (CTE DB SE-A, Tabla 4.1) **f_y** : 275.00 MPa

γ_{M0}: Coeficiente parcial de seguridad del material. **γ_{M0}** : 1.05

Abolladura por cortante del alma: (CTE DB SE-A, Artículo 6.3.3.4)

Aunque no se han dispuesto rigidizadores transversales, no es necesario comprobar la resistencia a la abolladura del alma, puesto que se cumple:

$$\frac{d}{t_w} < 70 \cdot \varepsilon \quad \mathbf{41.83 < 64.71} \quad \checkmark$$

Donde:

λ_w: Esbeltez del alma. **λ_w** : 41.83

$$\lambda_w = \frac{d}{t_w}$$

λ_{máx}: Esbeltez máxima. **λ_{máx}** : 64.71

$$\lambda_{max} = 70 \cdot \varepsilon$$

ε: Factor de reducción. **ε** : 0.92

$$\varepsilon = \sqrt{\frac{f_{ref}}{f_y}}$$

Siendo:

f_{ref}: Límite elástico de referencia. **f_{ref}** : 235.00 MPa

f_y: Límite elástico. (CTE DB SE-A, Tabla 4.1) **f_y** : 275.00 MPa

Resistencia a corte Y (CTE DB SE-A, Artículo 6.2.4)

Se debe satisfacer:

$$\eta = \frac{V_{Ed}}{V_{c,Rd}} \leq 1 \quad \mathbf{\eta : 0.002} \quad \checkmark$$

El esfuerzo solicitante de cálculo pésimo se produce en un punto situado a una distancia de 0.279 m del nudo N4, para la combinación de acciones 1.35·PP+1.05·Q+1.5·V(90°)H2+0.75·N(EI).

V_{Ed}: Esfuerzo cortante solicitante de cálculo pésimo. **V_{Ed}** : 1.62 kN

El esfuerzo cortante resistente de cálculo **V_{c,Rd}** viene dado por:

$$V_{c,Rd} = A_v \cdot \frac{f_{yd}}{\sqrt{3}} \quad \mathbf{V_{c,Rd} : 694.54} \quad \text{kN}$$

Donde:

A_v : Área transversal a cortante. A_v : 45.93 cm

$$A_v = A - d \cdot t_w$$

Siendo:

A : Área de la sección bruta. A : 72.70 cm

d : Altura del alma. d : 334.60 mm

t_w : Espesor del alma. t_w : 8.00 mm

f_{vd} : Resistencia de cálculo del acero. f_{vd} : 261.90 MPa

$$f_{vd} = f_y / \gamma_{M0}$$

Siendo:

f_y : Límite elástico. (CTE DB SE-A, Tabla 4.1) f_y : 275.00 MPa

γ_{M0} : Coeficiente parcial de seguridad del material. γ_{M0} : 1.05

Resistencia a momento flector Y y fuerza cortante Z combinados (CTE DB SE-A, Artículo 6.2.8)

No es necesario reducir la resistencia de cálculo a flexión, ya que el esfuerzo cortante solicitante de cálculo pésimo V_{Ed} no es superior al 50% de la resistencia de cálculo a cortante $V_{c,Rd}$.

$$V_{Ed} \leq \frac{V_{c,Rd}}{2} \quad 12.14 \text{ kN} \leq 217.74 \text{ kN} \quad \checkmark$$

Los esfuerzos solicitantes de cálculo pésimos se producen para la combinación de acciones $1.35 \cdot PP + 1.05 \cdot Q + 1.5 \cdot N(R)2$.

V_{Ed} : Esfuerzo cortante solicitante de cálculo pésimo. V_{Ed} : 12.14 kN

$V_{c,Rd}$: Esfuerzo cortante resistente de cálculo. $V_{c,Rd}$: 435.49 kN

Resistencia a momento flector Z y fuerza cortante Y combinados (CTE DB SE-A, Artículo 6.2.8)

No es necesario reducir la resistencia de cálculo a flexión, ya que el esfuerzo cortante solicitante de cálculo pésimo V_{Ed} no es superior al 50% de la resistencia de cálculo a cortante $V_{c,Rd}$.

$$V_{Ed} \leq \frac{V_{c,Rd}}{2} \quad 1.62 \text{ kN} \leq 347.27 \text{ kN} \quad \checkmark$$

Los esfuerzos solicitantes de cálculo pésimos se producen para la combinación de acciones $1.35 \cdot PP + 1.05 \cdot Q + 1.5 \cdot V(90^\circ)H2 + 0.75 \cdot N(EI)$.

V_{Ed} : Esfuerzo cortante solicitante de cálculo pésimo. V_{Ed} : 1.62 kN